

VŠST LIBEREC  
Fakulta textilná, V. ročník  
obor 3l - 11 - 8  
Technológia textilu, kože, gumy a plastických hmôt

Špecializácia  
Textilné materiály a odevníctvo  
Katedra textilných materiálov a výrobkov

Názov diplomovej práce:

MAČKAVOSŤ PLOŠNEJ TEXTILIE AKO FUNKCIA JEJ TEPLOTY  
A VLHKOSTI

Meno diplomanta: Marta Pečenová

Vedúci práce: Prof.Ing.Dr techn.RNDr J. Čirlič, DrSc.,  
člen korespondent ČSAV

Konzultant: Ing. J. Staněk

Rozsah práce a príloh:

Počet strán	53
Počet tabuliek v prílohe	67
Počet obrázkov	28
Počet výkresov	1
Počet modelov	-

Vysoká škola: strojní a textilní

Katedra: textilních materiálů a výrobků

Fakulta: textilní

Skolní rok: 1977/78

# DIPLOMOVÝ ÚKOL

pro

Marta Pečenová

obor 31 - 11 - 8 Technologie textilu, kůže, gumy a plastických hmot

Protože jste splnil<sup>a</sup> požadavky učebního plánu, zadává Vám vedoucí katedry ve smyslu směrnic ministerstva školství a kultury o státních závěrečných zkouškách tento diplomový úkol:

Název tématu: Mačkavost plošné textilie jako funkce její teploty a vlhkosti.

## Pokyny pro vypracování:

1. Navrhněte simulační metodu měření úhlu mačkavosti.
2. Zkonstruujte zařízení a odzkoušejte jeho funkcii.
3. Sledujte u vybraných vzorků úhel mačkavosti v závislosti na teplotě a vlhkosti textilie a dotykového prostředí.

V 7/1978 T

Autorské právo se řídí směrnicemi MŠK pro státní závěrečné zkoušky č. j. 31 727/62-III/2 ze dne 12. července 1962-Vědecké MŠK ČR, rozh. 21 ze dne 31. 8. 1962 § 19 autorského zákona č 115/53 Sb.

VYSOKÁ ŠKOLA STROJNÍ A TEXTILNÍ  
Ustřední knihovna  
LIBEREC 4, STUDENTSKÁ 5  
PSČ 461 17

VŠST  
FT

Mačkavosť plošnej textilie  
ako funkcia jej teploty a  
vlhkosti

List: 3

Miestopísané prehlasujem, že som diplomovú prácu  
vypracovala samostatne s použitím uvedenej litera-  
túry.

V Liberci dňa 26. mája 1978

*Pečinová Marta*  
podpis diplomanta

## OSNOVA

	str.
Úvod	6
<b>I. TEORETICKÁ ČASŤ</b>	
1. Vlastnosti odevu a vplyvy pôsobiace na odev	8
1.1 Fyziologické vlastnosti odevu	8
1.1.1 Tepelno-izolačné vlastnosti	8
1.1.2 Odvod tepla a vlhkosti	8
1.1.3 Priedyšnosť	9
1.2 Reprezentatívne vlastnosti odevu	9
1.3 Vplyv ľudského organizmu na odev	10
1.3.1 Mikroklima	10
2. Vplyv teploty na textilné materiály	12
3. Vplyv vlhkosti na textilné materiály	13
3.1 Mechanizmy prevádzania vlhkosti	13
3.1.1 Priepustnosť vodných párov pôrmi textilie	13
3.1.2 Kapilárny odvod vlhkosti do medzivlákenného priestoru	13
3.1.3 Adsorbcia vody na povrch vlákna	14
3.1.4 Absorbcia vody do vnútra vlákna	15
3.2 Parametre ovplyvňujúce prienik vlhkosti	15
3.2.1 Vplyv bobtnavosti vláken	15
3.2.2 Vplyv hrubky textilie	15
3.2.3 Vplyv dostavy textilie	16
3.2.4 Vplyv konštrukcie priadze	16
3.2.5 Vplyv povrchu vláken	16
3.3 Spôsoby prieniku vlhkosti v závislosti na teplotnom spáde	16
<b>II. EXPERIMENTÁLNA ČASŤ</b>	
4. Návrh skúšobného zariadenia	18
4.1 Požiadavky na skúšobné zariadenie	18

	str.
4.2 Návrh a popis skúšobného zariadenia	18
5. Návrh simulačnej metódy merania uhlu zotavenia mačkavosti plošnej textilie	23
5.1 Metodika merania mačkavosti	23
5.2 Stanovenie základných parametrov skúšobných materiálov vzorkov	25
5.3 Príprava vzorkov	27
5.4 Skúšobné prostredie	28
5.5 Pracovný postup merania	29
6. Namerané hodnoty a vyhodnotenie	30
6.1 Stanovenie vlhkosti vo vzorku	30
6.2 Stanovenie uhlu zotavenia mačkavosti plošnej textilie	31
6.3 Stanovenie uhlu nábehu teploty vo vzorku	33
Záver	52
Literatúra	53
Prílochová časť	

## ÚVOD

So vzrastajúcou životnou úrovňou zvyšujú sa i nároky na textilné materiály.

Prakticky až do minulého storočia sa používalo v textilnom priemysle iba prírodných surovín. Avšak s rastúcou spotrebou textilných materiálov bolo nutné hľadať nové zdroje.

Vývoj chemických vlákien charakterizuje nielen kvantitatívny vzostup výroby, ale i množstvo nových typov vlákien a podstatné zlepšenie ich vlastností.

Najprogresívnejšie sa však rozvíjajú vlákna syntetické. Ich rastúci objem spotreby v poslednom desaťročí v celom odevnom sektore, spolu s celkom novými a veľmi rozsiahlymi textilnými možnosťami, vyžadujú optimalizáciu a tiež systematický a rozsiahly prieskum v oblasti vedy a odievania.

Dnes spotrebiteľ kladie konkrétnie požiadavky na druh a kvalitu oblečenia, prihliada na reprezentatívne, fyziologické vlastnosti, esteticko-módne prvky, trvanlivosť a snadnú údržbu výrobku.

Jednou z dôležitých reprezentatívnych vlastností je zotavovacia schopnosť udávajúca mieru mačkavosti plošnej textilie.

Na textiliu najčastejšie pôsobí tlak, teplota a vlhkosť zo strany ľudského organizmu a teplota s vlhkosťou zo strany okolného prostredia.

Pre ďalší úspešný rozvoj rôznych druhov textilných materiálov je nutné poznať vplyvy týchto faktorov na veľkosť mačkavosti odevných materiálov.

VŠST  
FT

Mačkavosť plošnej textilie  
ako funkcia jej teploty a  
vlhkosti

List: 7

I. T E O R E T I C K Á Č A S Ť

## 1. Vlastnosti odevu a vplyvy pôsobiace na odev

### 1.1 Fyziologické vlastnosti odevu

Pri hodnotení ľudského odevu, okrem konštrukcie, vzhľadu, strihu, užitných vlastností a ceny výrobku, má významnú úlohu jeho vhodnosť z hľadiska fyziologickej.

Odev je spájajúcim článkom medzi ľudským organizmom a okolným prostredím, preto nositeľ od neho očakáva zaistenie pocitu pohodlia - komfortu /to je teplota medzi  $18 \div 22 [^{\circ}\text{C}]$  a relativna vlhkosť vzduchu

$55 \div 70 [\%]$ . Myšlienky o optimálnom poriadku prostredia

Základné fyziologické vlastnosti odevu s priamym vplyvom na ľudský organizmus sú:

1. tepelno-izolačné vlastnosti
2. odvod tepla a vlhkosti
3. priedyšnosť

Optimálna dĺžka vlákn je väčšia je tiež lepej  
vinnostným materiálom a odvodom tepla.

#### 1.1.1 Tepelno-izolačné vlastnosti

Tepelno-izolačná vlastnosť je schopnosť odevu brániť priechodu tepla z povrchu teplejšieho do chladnejšieho a udržiavať optimálnu teplotu tela.

Tepelno-izolačná schopnosť je závislá na obsahu vzduchu uzavoreného v textilii.

Požadované tepelno-izolačné hodnoty sa dajú docíeliť hrubou použitie textilie, alebo počtom vrstiev jednotlivých častí odevu.

#### 1.1.2 Odvod tepla a vlhkosti

Pre zabezpečenie pocitu pohodlia ľudského organizmu je nutné, aby odev odvádzal prebytok tepla a vlhkosti z pokožky do okolného prostredia.

### 1.1.3 Priedyšnosť

Priedyšnosť textilie je schopnosť prepúštať vodné pary so vzduchom smerom zo strany vyššieho tlaku k nižšiemu.

### 1.2 Reprezentatívne vlastnosti odevu

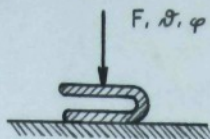
Jednou z dôležitých reprezentatívnych vlastností ovplyvňujúcich užitnú hodnotu odevného výrobku je mačkavosť plošnej textilie prejavujúca sa pri bežnom nosení odevov napríklad na sedacej časti, v podkolení, lakti a podobne /obr.1/.



obr.1. Schematické znázornenie miest, na ktorých sa najviac prejavuje mačkavosť plošnej textilie

Podľa ČSN 80 0819 je mačkavosť definovaná ako prechodná deformácia tkaniny vzniklá tlakom pri jej praktickom používaní.

V skutočnosti súčasne s mechanickým namáhaním pôsobí teplota a vlhkosť /obr.2/.



obr.2 Spôsob zátaženia, v dôsledku ktorého v skutočnosti dochádza k mačkavosti plošnej textilie

kde: F .... zaťažujúca sila [N]

$\vartheta$  .... teplota [ $^{\circ}\text{C}$ ]

$\varphi$  .... vlhkosť [%]

Na základe teoretických rozborov pôsobenia teploty a vlhkosti možno očakávať, že za konštantného tlaku pri rôznych hodnotách teploty a vlhkosti bude mačkavosť rôzna.

### 1.3 Vplyv ľudského organizmu na odev

Zo strany ľudského organizmu pôsobí na odev, okrem mechanického namáhania, teplota a vlhkosť.

Na každej časti ľudského tela pôsobí iná teplota a vytvára sa rôzne množstvo potu. Optimálna teplota je 37 [ $^{\circ}\text{C}$ ]. Není typickým príkladom fyzikálnej lítla

Pri riadení výmeny tepla medzi telom a okolným prostredím má dôležitú úlohy pokožka, ktorá vylučuje okrem normálneho úbytku vodných párov tiež pot.

Na odev tiež pôsobí teplota a vlhkosť zo strany okolného prostredia.

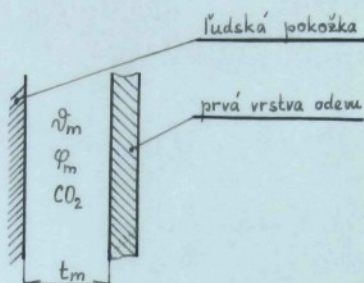
#### 1.3.1 Mikroklima

Mikroklima je medzivrstva medzi pokožkou a prvou vrstvou odevu, ktorá vytvára organizmu pocit pohodlia.

Optimálne hodnoty mikroklíma:

- teplota  $\vartheta_m = 32 \div 34 [{}^{\circ}\text{C}]$
- relatívna vlhkosť - v kľude  $\varphi_k = 65 [\%]$
- v zátaži  $\varphi_z = 80 [\%]$
- obsah kysličníka uhličitého  $\text{CO}_2 = 0,07 [\text{vol}]\}$
- hrubka  $t_m = 8 \cdot 10^{-3} [\text{m}]$

/obr. 3/



obr. 3. Parametre mikroklíma

## 2. Vplyv teploty na textilné materiály

Teplo, alebo iná forma energie môže vyvolať rôzne štrukturálne zmeny, urýchliť chemické reakcie a spôsobiť zmeny mechanických, poprípade i chemických vlastností vlákien.

Rozhodujúcu úlohu majú energetické pomery. Pokiaľ nie sú mimoriadne okolnosti a molekulám sa nebráni zaujať ľubovolnú polohu, zaujmú polohu s najmenšou energiou. To znamená, že celá molekula i jednotlivé jej skupiny natočí tak, aby bola v minime energie. Každé vychýlenie z tejto polohy vedie ku stavu energeticky bohatšiemu, je treba energiu v nejakej forme dodávať. Dodaná energia sa potom hromadí v látke vo forme potenciálnej energie a zvyšuje vnútornú energiu systému, alebo sa rozptyluje, napríklad vnútorným trením pri platickom toku a podobne. Z tejto jednoduchej úvahy možno usudzovať, že dochádza ku zmenám štruktúry vlákna, spôsobených tepmom.

V tejto práci sa však berú do úvahy teploty v rozmedzí  $25 \div 45 [^{\circ}\text{C}]$ .

Prvý?: z hľadiska H. Nejdôležitejšie  
zmeny, ktoré sú v súvisu s teplotou sú:

Jere teplotní klesaniny mi diplomantka  
ne myslí, aby zohľadzovala štrukturálne  
zmeny vlákien?

### 3. Vplyv vlhkosti na textilné materiály

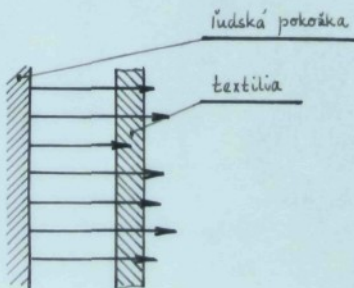
#### 3.1 Mechanizmy prevádzania vlhkosti

Ak je textilná vrstva, alebo kombinácia niekoľkých vrstiev prepúšťajúcich vodnú paru, vystavená na jednej strane pôsobeniu vodných párov z ľudského organizmu a na druhej strane je prostredie nedostatočne nasýtené vodnou parou o nižšom obsahu vodnej pary, než na strane prvej, prenikne vodná para textilnou vrstvou.

Z povrchu ľudského tela prienik vlhkosti do textilie môže prebiehať nasledujúcimi mechanizmami:

##### 3.1.1 Priepustnosťou vodných párov pórmí textilie /obr.4/

Množstvo vody prenikajúce týmto spôsobom tkaninou, je ovplyvnené štruktúrou textilie, to je hrubkou vrstvy a formou vzdušných kanálov, daných parametrami priadze a tkaniny.

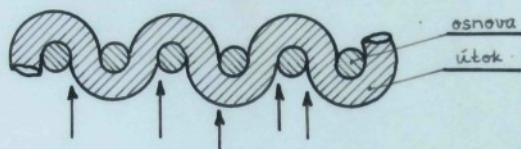


obr. 4. Priepustnosť vodných párov pórmí textilie

##### 3.1.2 Kapilárnym odvodom vlhkosti do medzivlákenného priestoru /obr.5/

Savosť, to je sacia výška kapiláry, závisí na jej priemere a zmäčanlivosti povrchu steny.

Pod pojmom kapilára sa rozumie medzipriestor a medzera medzi jednotlivými vláknenami a niťami textilie. Kapilárna vodivosť je významná pre odvod vody skondenzovanej vo vnútri vrstvy pri prekročení napäťa nasýtených párov. Veľkosť kapilárnej vodivosti možno meniť geometrickou formou kapilár a zmáčanlivostou povrchu vláken napríklad textilným zušľachťováním.

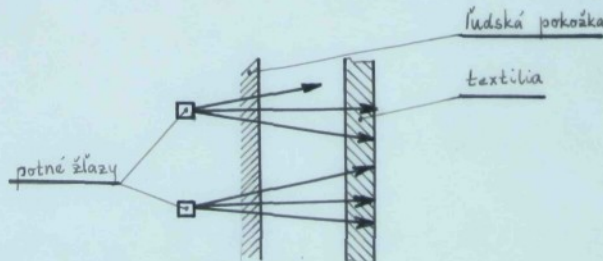


obr. 5. Kapilárny odvod vlhkosti  
do medzivlákenného priestoru

### 3.1.3 Adsorbciou vody na povrch vlákna /obr. 6/

Princípom je migrácia - putovanie vody viazanéj na povrchu vláken; závisí na zmáčanlivosti povrchu vláken.

Mechanizmus adsorbcie má podstatný vplyv na prostup vodných párov textilnou vrstvou.



obr.6. Adsorbcia vody na povrch vlákna

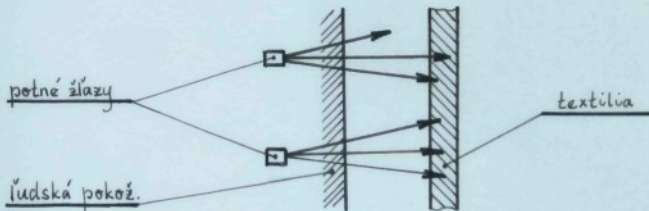
### 3.1.4 Absorbciou vody do vnútra vlákna /obr.7/

V dôsledku absorbcie vody do vnútra vlákna dochádza k bobtnaniu; zvýšuje sa objem vlákna, zmenšujú sa medzivlákenné priestory a tým sa znížuje prieplustnosť vodných pár.

Dalo by sa očakávať, že textilný materiál so zníženou bobtnavosťou by mal mať, pokial bobtnavosť má zásadný vplyv na prieplustnosť vlhkosti, zvýšenú prieplustnosť vlhkosti.

Zistilo sa však, že prieplustnosť vlhkosti nie je tak ovplyvnená bobtnavosťou vlákenného materiálu ako zmáčkanlivosťou povrchu vláken.

Kým bolo zjednodušen?



obr.7. Absorbcia vody do vnútra vlákna

## 3.2 Parametre ovplyvňujúce prienik vlhkosti

### 3.2.1 Vplyv bobtnovosti vláken

Bolo zistené, že vzorky z bobtnavého materiálu upravené hydrofóbne a neupravené vykazujú rozdielny prevod vlhkosti - príčina je uvedená v predchádzajúcej kapitole 3.1.4.

### 3.2.2 Vplyv hrubky textilie

S rastúcou hrubkou plošnej textilie sa prevod vlhkosti znížuje podľa hyperbolickej závislosti.

### 3.2.3 Vplyv dostavy textilie

Čím je dostava hustejšia, tým menej sa uplatňuje mechanizmus difúzie vodnej pary pórmí textilie.

### 3.2.4 Vplyv konštrukcie priadze

Čím má priadza väčší počet zákrutov, tým menšie množstvo vzduchu v sebe uzatvára a tým sa tiež obmedzuje možnosť difúzie vodnej pary vzduchovou vrstvou.

### 3.2.5 Vplyv povrchu vlákien

Povrchová úprava ovplyvňuje zmäčanlivosť a tým aj schopnosť plošnej textilie transportovať vodu kapilárami, alebo mechanizmom povrchovej migrácie.

## 3.3 Spôsoby prieniku vlhkosti v závislosti na teplotnom spáde

Odev sa vo väčšine prípadov nachádza vo vnútri teplotného spádu medzi povrhom tela /respektíve mikroklimatom/ a okolím. Za týchto podmienok može dôjsť ku kondenzácii vody vo vnútri vrstiev odevu.

Kondenzačný efekt možno očakávať pri vyšších teplotách, s istotou ho môžeme vylúčiť len vtedy, ak nie je medzi povrhom jednotlivých vrstiev textilie žiadny teplotný rozdiel, alebo ak je koncentrácia vodnej pary nad celou textiliou skutočne nízka.

?  
med teplotnich vrstvach

II. EXPERIMENTÁLNA ČASŤ

## 4. Návrh skúšobného zariadenia

## 4.1 Požiadavky na skúšobné zariadenie

Požiadavky na skúšobné zariadenie vychádzajú z potreby čo najvernejšej simulácie ľudského organizmu, to je tlaku, teploty, vlhkosti.

Meranie má prebiehať za konštantného tlaku spôsobeného hmotnosťou ľudského tela za sedenia. Za týmto účelom bolo premeraných desať osôb o priemernej váhe jednej osoby 59 [kg]. Priemerná plocha sedacej časti bola 0,0565 [ $m^2$ ]. Tlak možno vypočítať zo známeho vzťahu /1/.

$$p_i = \frac{F_i}{S_i} \quad [Pa] \quad /1/$$

kde:

F .... zaťažujúca sila [N] /činí 70 [%] z celkovej hmotnosti ľudského tela, to je približná hmotnosť trupu a horných končatín/

S .... plocha sedacej časti [ $m^2$ ]

Pre priemerný tlak platí vzťah /2/

$$\bar{p} = \frac{1}{n} \sum_{i=1}^n p_i \quad /2/$$

a po dosadení do vzťahu /2/ dostaneme  $\bar{p} = 7307,2$  [Pa].

Zariadenie musí mať plynulú zmenu teploty v rozmedzí  $\Delta = 25 \div 45$  [ $^{\circ}\text{C}$ ] a možnosť regulácie vlhkosti vzduchu  $\varphi$ .

## 4.2 Návrh a popis skúšobného zariadenia

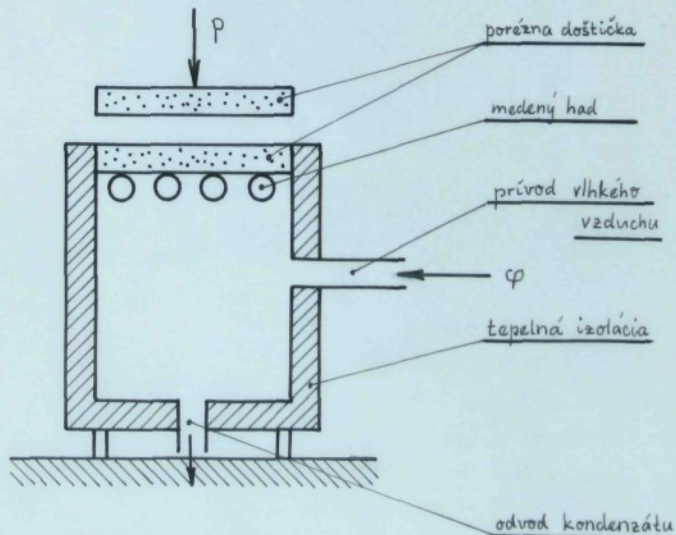
Na základe požiadaviek bolo navrhnuté zariadenie - simulátor ľudského tela pre meranie uhlu zotavenia

mačkavosti plošnej textilie.

Simulátor sa skladá z kovovej nádoby obalenej polystyrénom z dôvodov tepelnej izolácie.

Vlastnú pokožku nahradzuje porézna doštička s veľmi dobrou tepelnou vodivostou. Porézna doštička je ohrievaná vyhrievacím telesom - medeným hadom pripájaným k doštičke, ktorým prúdi ohrievacie médium - voda. Voda je ohrievaná a udržiavaná na príslušnej teplote pomocou termostatu U 10, ktorým možno nastaviť potrebnú teplotu poréznej doštičky /obr.8/. Konštrukčný výkres je uvedený v prílohe.

Teplota medzi doštičkami sa sníma pomocou termočlánku med - konstantan.



obr.8. Princíp simulátoru

Horná doštička ako súčasť závažia pre vyvodenie tlaku musí byť tiež porézna, aby bol umožnený odvod vlhkého vzduchu. Pri doštičke neporéznej by dochádzalo ku zrážaniu a kondenzácii vlhkého vzduchu. Z tohto

dôvodu je tiež nutné, aby závažie bolo duté a stykové plochy medzi ním a hornou poréznou doštičkou boli čo najmenšie. Hmotnosť celého závažia po vyvodeníypočítaného tlaku  $\bar{p}$  /2/ na plochu vzorku je  $m = 0,299 \text{ [kg]}$ .

Do simulátora sa privádza vlhký vzduch o zvolenom  $\varphi$ . Vlhčenie vzduchu je prevádzané sýtou parou, ktoré ako je známe prebieha za konštantnej teploty.

Fri prvom návrhu bolo uvažované vlhčiť vzduch sýtou parou priamo v simulátore.

To však nie je možné uskutočniť z dvoch dôvodov:

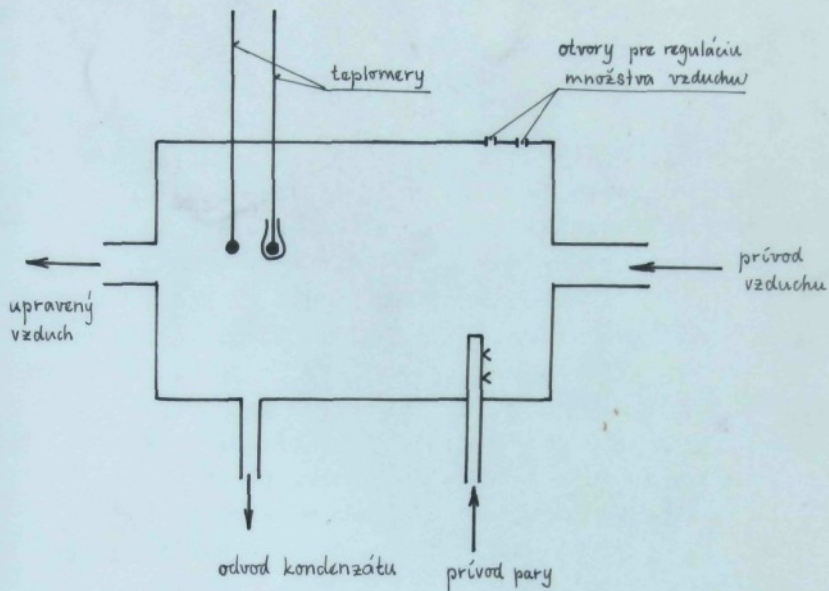
1. Ako zdroj sýtej pary je použitý tlakový hrniec, čo je zdroj tlaku pomerne nestabilný, takže v malom priestore simulátora dochádza ku značným ťažko vyregulovateľným zmenám vlhkosti.
2. Sýta para vyrobená v tlakovom hrnci má teplotu približne  $110 \text{ [}^{\circ}\text{C}]$  a tlak  $145 \text{ [kPa]}$ . Prostredie simulátora, do ktorého je para privádzaná, má teplotu okolo  $20 \text{ [}^{\circ}\text{C}]$  a tlak  $95 \text{ [kPa]}$ . V dôsledku veľkého rozdielu teplôt a tlakov dochádzalo ku kondenzácii parы na stenách simulátora a na základe kapilárnych javov prenikal kondenzát na povrch dolnej poréznej doštičky.

Z týchto dôvodov je vlhčenie parou priamo v priestore simulátora vylúčené.

K vlhčeniu vzduchu musí dochádzať mimo priestor vlastného simulátora, v zmešovacej komôrke, a do simulátora privádzať už vlhký vzduch o danom  $\varphi$ . Zmenšovacia komôrka by mala byť väčšia z hľadiska nestability zdroja sýtej pary, aby zmeny vzduchu boli čo najmenšie. Do zmešovacej komôrky je vháňaný vzduch pomocou ventilátora cez ohrevák s reguláciou teploty, čím je možné tiež riadiť vlhkosť vzduchu. Vlhkosť vzduchu je meraná pomocou suchého a vlhkého teplomeru /obr.9/.

Vlhkosť vzduchu sa reguluje množstvom privedenej parry a obmedzene pomocou ohrevaku /aby sa nezvýšila príliš

teplota na doštičke/.

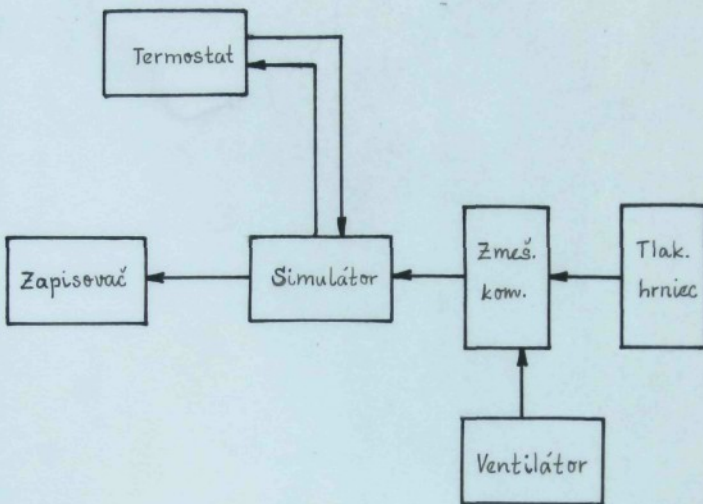


obr.9. Schéma zmešovacej komôrky

Vlastný uhol mačkavosti sa meria na špeciálnom stojane s trnmi, na ktoré sa prevesia vzorky po odľahčení a uhol sa odčíta po určitej dobe v stupňoch na špeciálne pre tento účel vyrobenej stupnicí.

?

výsledky +  
uvedený v [rad]



obr.10. Principiálne schéma zariadenia pre simuláciu ľudského tela s meracou apparatúrou

## 5. Návrh simulačnej metódy merania uhlhu zotavenia mačkavosti plošnej textili-

### 5.1 Metodika merania mačkavosti

Pri experimentálnej skúške sa budeme pohybovať v určitom rozmedzí teplôt a vlhkostí, pretože na každej časti ľudského tela pôsobí iná teplota a vytvára sa rôzne množstvo vlhkosti.

Meranie bolo prevádzané celkom dvakrát pri šestich hodnotách teplôt v prostredí medzi doštičkami, to je od  $27 \div 42 [{}^{\circ}\text{C}]$ , po troch stupňoch, pri dvoch hodnotách relatívnej vlhkosti.

Prvá hodnota vlhkosti  $\varphi = 65 \pm 5 [\%]$  - odpovedá vlhkosti mikroklíma v kľude.

Druhá hodnota vlhkosti  $\varphi = 85 \pm 5 [\%]$  - odpovedá vlhkosti mikroklíma v zátaži.

Každé meranie bolo prevádzané na štyroch rôznych druhoch materiálov. Výber vzorkov bol volený tak, aby kvalitou a základnými identifickými znakmi odpovedal vrchovému materiálu.

Doba zaťaženia bola zvolená 600 [s].

Uhол zotavenia sa odčítaval po uplynutí doby odľahčenia po 60, 120, 300 a 600 [s].

Podstata skúšky: Skúšobný vzorok plošnej textilie sa preloží presne po niti a zaťaží sa závažím o danej hmotnosti. Po stanovenú dobu je vystavený pôsobeniu prostredia o danej teplote a vlhkosti. Po odľahčení je vzorok vystavený pôsobeniu okolného prostredia, čo odpovedá skutočným podmienkam pri nosení odevov.

Z dôvodov porovnania výsledných hodnôt uhlu zotavenia mačkavosti plošnej textilie bola tiež prevedená skúška mačkavosti tkanín podľa ČSN 80 0819.

### 5.2 Stanovenie základných parametrov skúšaných materiálov vzorkov

Jednotlivé parametre skúšaných materiálov vzorkov boli stanovené podľa príslušných československých štátnych noriem.

Typ	ČSN 80 0201	Stanovenie dĺžky vláken meraním dĺžky jednotlivých vláken
Materiálové zloženie	ČSN 80 0067	Stanovenie podielu textil- ných vláken v zmesi
Väzba	ČSN 80 0020	Názvoslovie tkáčskych vä- zieb a väzbových techník
Dostava	ČSN 80 0814	Zistenie dostavy
Hrubka	ČSN 80 0844	Zistenie hrubky plošnej textilie
Plošná merná hmotnosť	ČSN 80 0845	Stanovenie merných ukazate- ľov hmotnosti plošnej tex- tilie

Použité symboly: VS - viskóza  
PES - polyester  
vl - vlna  
ba - bavlna

1. Vzorok skúšaného materiálu



2. Vzorok skúšaného materiálu



3. Vzorok skúšaného materiálu



4. Vzorok skúšaného materiálu



Poradové číslo vzorku skúšaného materiálu	Typ	Materiálové zloženie a hmotnostné zastúpenie jednotlivých komponent zmesi [%]		Vázba	Priemerná dostava [pč.nití/100 mm]		Priemerná hrubka [m]	Priemerná plošná merná hmotnosť [kg·m⁻²]
		osnova	útok		osnova	útok		
1	bavlnársky	VS/PES 52/48	VS/PES 45/55	plát-nová	358	170	$0,227 \cdot 10^{-3}$	0,236
2	vlnársky	vl/PES 45/55	vl/PES 40/60	kepro-vá	373	203	$0,308 \cdot 10^{-3}$	0,265
3	bavlnársky	ba/PES 66/34	ba/PES 58/42	plát-nová	434	178	$0,192 \cdot 10^{-3}$	0,195
4	bavlnársky	ba 100	ba 100	plát-nová	258	228	$0,051 \cdot 10^{-3}$	0,127

### 5.3 Príprava vzorkov

Z dôvodov nedostatku potrebného množstva materiálu na prípravu vzorkov bolo nutné sa odchýliť od ČSN 80 0341 - brania vzorkov.

Tkanina pred odoberením skúšobných vzorkov bola chránená pred vznikom záhybov. Skúšobné vzorky boli odoberané najmenej  $100 \cdot 10^3$  [m] od pevného okraja o veľkosti  $40 \times 20 \cdot 10^3$  [m] vystrihovaním podľa predkreslených obrysov v smere osnovy a útku.

Z jedného druhu textilného materiálu bolo pripravených pre celé meranie 58 vzorkov, z toho 3 vzorky pre zistenie hmotnosti a 1 vzorok pre zistenie nábehu teploty. Pre uhol zotavenia pri hodnote  $\varphi = 65$  [%] bolo celkom pripravených 36 vzorkov, z toho 18 po osnovе a 18 po útku. Pre uhol zotavenia pri hodnote  $\varphi = 85$  [%] bolo pripravených 18 vzorkov v smere osnovy a útku.

Pri skúške mačkavosti po osnovе je dĺžka prúžku  $40 \cdot 10^3$  [m] v smere osnovy, pri skúške po útku je dĺžka  $40 \cdot 10^3$  [m] v smere útku.

Pretože táto práca je zameraná hlavne na simuláciu mačkavosti pri sedení, skúša sa mačkavosť tkaniny na rubnej strane, v tom prípade je rubná strana vo vnútri prehybu skúšaného vzorku.

#### 5.4 Skušobné prostredie

Pred meraním, pre vymedzenie vplyvu vonkajšieho prostredia, vzorky boli umiestnené v klimatizovanom prostredí, tj. teplota vzduchu  $20 \pm 2 [{}^{\circ}\text{C}]$  a relatívna vlhkosť  $65 \pm 2 [\%]$ .

Vlastné skúšobné prostredie - medzi doštičkami, jeho teplota a vlhkosť bola nastaviteľná v rozmedzí teplôt  $27 \div 42 [{}^{\circ}\text{C}]$  pri hodnotách vlhkosti  $65 \pm 5 [\%]$  a  $85 \pm 5 [\%]$ .

Uhol zotavenia mačkavosti plošnej textilie sa meral v klimatizovanom prostredí.

### 5.5 Pracovný postup merania

Pri vlhkosti vzduchu  $\varphi = 65 [\%]$  sa použil klimatične zovaný vzduch miestnosti a ventilátorom sa vháňal do simulátora. Pre dosiahnutie vlhkosti vzduchu  $\varphi = 85 [\%]$  sa vzduch vlhčil v zmešovacej komôrke parou.

Meranie prebiehalo najskôr pre jednu, potom pre druhú vlhkosť  $\varphi$ .

Pomocou termostatu sa nastavila príslušná teplota doštičky. Teplota doštičky sa merala pomocou termočlánku.

Meranie uhlu nábehu teploty vo vzorku:

Vzorok sa preloží na polovicu, doprostred vzorku sa vloží termočlánok, prevedie sa zaťaženie. Nábeh teploty vo vzorku sa zaznamenáva na zapisovači.

Meranie uhlu zotavenia mačkavosti a hmotnosti vody vo vzorku:

Pod doštičku o danej teplote sa vložia dva vzorky, prvý sa musí preložiť presne po niti, a zaťaží sa závažím o hmotnosť 2-krát m. Prvý vzorok slúži pre meranie uhlu zotavenia mačkavosti, druhý pre meranie hmotnosti vody vo vzorku. Po uplynutí doby 600 sekúnd sa závažie odstráni, prvý vzorok sa pomocou pinzety prevesí na trn stojanu a po uplynutí doby 60, 120, 300, 600 sekúnd sa meria uhol zotavenia. Druhý vzorok sa rýchlo vloží do malej kádinky uzavorennej proti vnikaniu okolného vzduchu a na presných analytických váhach sa zváži hmotnosť kádinky so vzorkom. Po odčítaní hmotnosti kádinky obdržíme hmotnosť vzorku. Vzorok sa potom vysuší v sušiarne a použije sa pre meranie pri ďalšej teplote.

Vážením sa tiež zistí hmotnosť vzorku v stave klimatizovanom a vysušenom.

Daný postup sa opakuje pre všetky teploty a vlhkosti.

Názov metódy a hrazenie?

## 6. Namerené hodnoty a výhodnotenie

Namerané a vypočítané hodnoty sú uvedené v tabuľkách, ktorým odpovedajú príslušné grafy. Tabuľky sú súčasťou prílohy a grafy experimentálnej časti.

6.1 Stanovenie vlhkosti vo vzorku

Pri stanovení vlhkosti vo vzorku sa vychádzalo z nasledujúcich vzťahov:

$$r_i = \frac{v_i}{m_{s_i}} \cdot 100 \quad [\%] \quad /3/$$

$$v_i = m_i - m_{s_i} \quad [kg] \quad /4/$$

$$\bar{r} = \frac{1}{n} \sum_{i=1}^n r_i \quad [\%] \quad /5/$$

kde:

$r_i$  .... vlhkosť v  $i$ -tom vzorku  $[\%]$

$v_i$  .... hmotnosť vody v  $i$ -tom vzorku  $[kg]$

$m_{s_i}$  .... hmotnosť suchého  $i$ -teho vzorku  $[kg]$

$m_i$  .... hmotnosť vlhkého  $i$ -teho vzorku  $[kg]$

$\bar{r}$  .... priemerná vlhkosť vo vzorku  $[\%]$

$\sum$  .... suma

$n$  .... počet meraní

Namerané hodnoty sú uvedené v 1 : 5 tabuľke, im odpovedajú obr. 11, 12.

kde:

$r_{s_i}$  .... vlhkosť suchého  $i$ -teho vzorku  $[\%]$

$r_{k_i}$  .... vlhkosť klimatizovaného  $i$ -teho vzorku  $[\%]$

$\bar{r}_k$  .... priemerná vlhkosť klimatizovaného vzorku  $[\%]$

$m_{k_i}$  .... hmotnosť klimatizovaného  $i$ -teho vzorku  $[kg]$

$r_{v_{i_1}} - r_{v_{i_6}}$  .... vlhkosť vlhkého i-teho vzorku v jednotlivých intervaloch teplôt [%]

$m_{v_{i_1}} - m_{v_{i_6}}$  .... hmotnosť vlhkého i-teho vzorku v jednotlivých intervaloch teplôt [kg]

$\bar{r}_v_j$  .... priemerná vlhkosť vlnkých vzorkov v jednotlivých j-tých intervaloch teplôt [%]

● .... VS/PES

△ .... ba/PES

○ .... vl/PES

□ .... ba

Z nameraných hodnôt prevedených do grafických závislostí môžeme vyvodiť záver, že so zvyšujúcou teplotou zmenšuje sa obsah vlhkosti približne podľa hyperbolickej závislosti - dochádza k vysušovaniu textilného materiálu. So zvyšujúcou relatívnu vlhkostou značne sa zvyšuje i obsah vody v textiliu.

Z porovnania obrázkov 11 a 12 vyplýva, že pri rovnakých hodnotách rastúcej teploty, ale rôznych hodnotách relatívnej vlhkosti nastáva rozdielny zostup obsahu vlhkosti /ak  $\varphi=85$  [%] dochádza k rýchlejšiemu úbytku vlhkosti než pri  $\varphi=65$  [%] /.

Ak  $\varphi = 65$  [%] prakticky najviac vody obsahuje ba, najmenej VS/PES.

Ak  $\varphi = 85$  [%] prakticky najviac vody obsahuje vl/PES, najmenej ba/PES.

Prírodné vlákna majú schopnosť prijímať viac vlhkosti než vlákna chemické, čo sa predpokladalo [2].

## 6.2 Stanovenie uhlu zotavenia mačkavosti plošnej textilie

Namerané hodnoty normovanej skúšky mačkavosti sú uvedené v tabuľkach 6 ÷ 9, simulovanej skúšky mačkavosti  $\varphi=65$  [%] v tabuľke 10 ÷ 37 a  $\varphi=85$  [%] v tabuľ-

káčach 38 ÷ 65. Tabuľkám 6 ÷ 65 odpovedajú obrázky 13 ÷ 16.

kde:

$\bar{\alpha}_{t_j}$  .... priemerný uhol zotavenia v danom zotavovacom čase  $t_j$  [rad]

$t_j$  .... zotavovací čas po odľahčení [s]

△ .... normovaná skúška

○ .... simulovaná skúška pri  $\varphi = 65 \pm 5$  [%]

● .... simulovaná skúška pri  $\varphi = 85 \pm 5$  [%]

Pri hodnote  $\varphi = 65$  [%] pre každú teplotu bolo prevedených celkom 6 meraní, z toho 3 vzorky po osnove a 3 po útku. Pretože namerané hodnoty vykazovali veľmi malé diferencie, preto pri druhej hodnote  $\varphi = 85$  [%] sa merali iba 3 vzorky bez rozlíšenia útok, osnova.

Meranie uhlia prebiehalo v klimatizovanom prostredí, pri čom dochádzalo buď k vysušovaniu, alebo k navlhčovaniu vzorku viď tabuľky 1 ÷ 5.

Z prevedených experimentálnych skúšok bolo zistené, že zvyšovaním teploty a vlhkosti sa uhol zotavenia zmenšuje, tzn. že mačkavosť sa zväčšuje.

Z grafickej závislosti priemerného uhu zotavenia môžeme pozorovať, že krivky v rozmedzí teplôt 27 ÷ 42 [ $^{\circ}\text{C}$ ] vykazujú podstatný rozdiel oproti krikve z normovanej skúšky a naviac ich zotavovací čas je iba 600 sekúnd oproti 3 600 sekundám, doba zaťaženia je iba 600 sekúnd oproti 3 600 sekundám a hmotnosť zaťaženia je iba 0,299 [kg] oproti 1 [kg].

Ak porovnáme priebehy uhlia zotavenia mačkavosti pri  $\varphi = 65$  [%] s priebehmi pri  $\varphi = 85$  [%] vidíme, že mačkavosť sa vlhkostou pomerne značne zvyšuje. Na veľkosť uhlia zotavenia mačkavosti má teda väčší vplyv vlhkosť než teplota.

Uhlosť zotavenia mačkavosti sa mení pri pôsobení teploty a vlhkosti v dôsledku zmien mechanických vlastností. [9].

### 6.3 Stanovenie uhlhu nábehu teploty vo vzorku

Priebehy nábehu teploty boli namerané na zapisovači typu LINE RECORDER TZ 21 S. /posuv papieru 3,6 [m] / 3 600 [s], rozsah stupnice 0,02 [mV]/. Uhly nábehu sú udané v tabuľkách 66  $\div$  67, ktorým príslušia obrázky 17  $\div$  22 pre  $\varphi = 65 \pm 5 \%$   
obrázky 23  $\div$  28 pre  $\varphi = 85 \pm 5 \%$

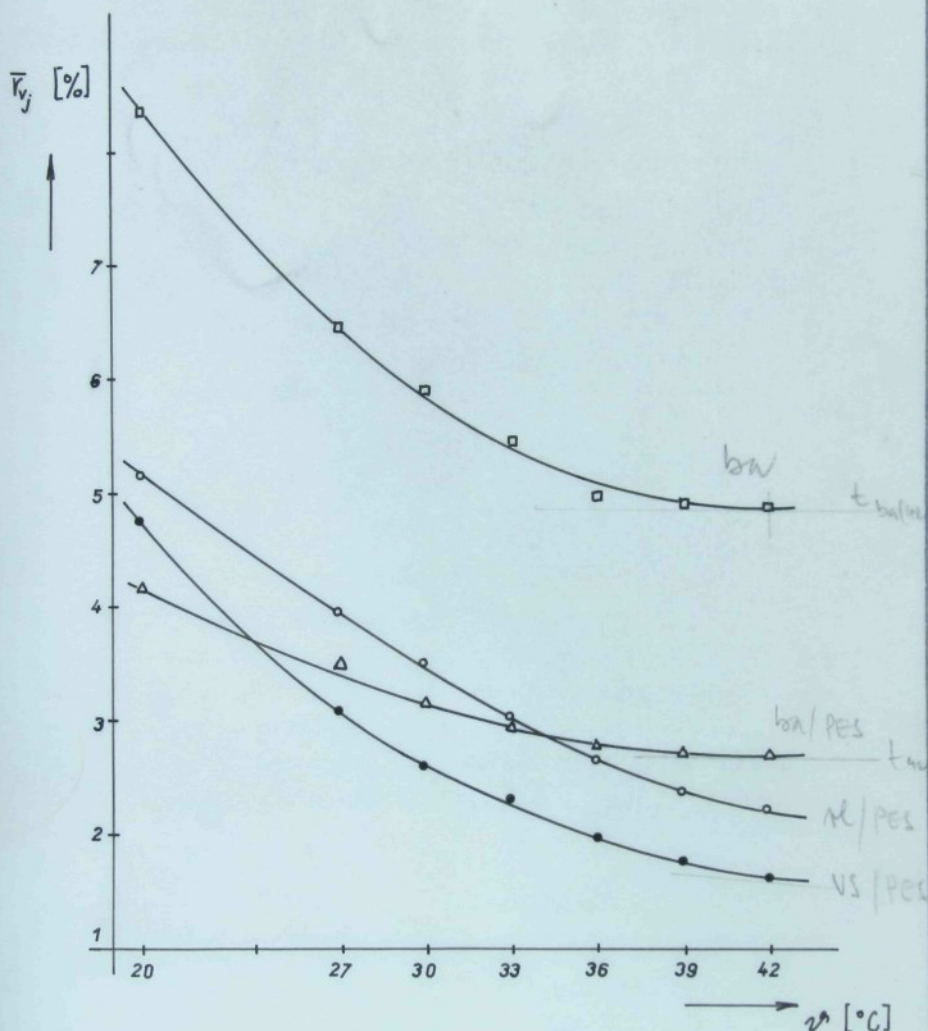
kde:

- |               |               |
|---------------|---------------|
| ● .... VS/PES | △ .... ba/PES |
| ○ .... vl/PES | □ .... ba     |

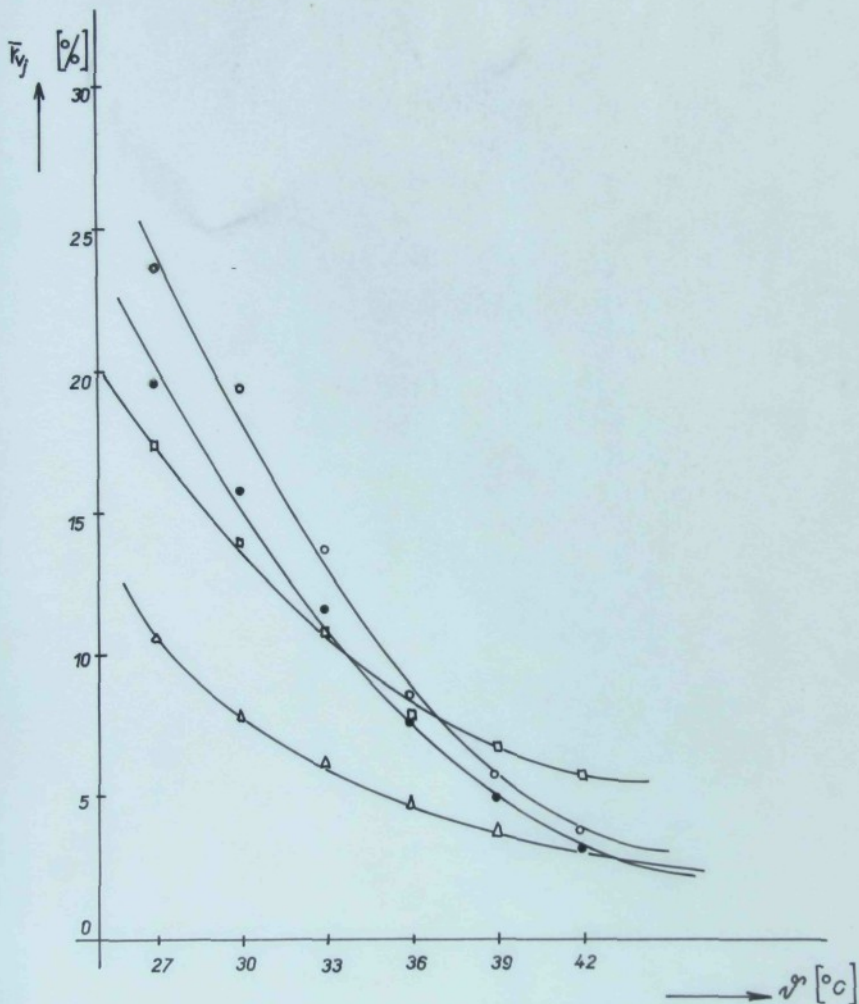
— .... teplota doštičky

Z tabuľiek a grafov vyplýva, že:

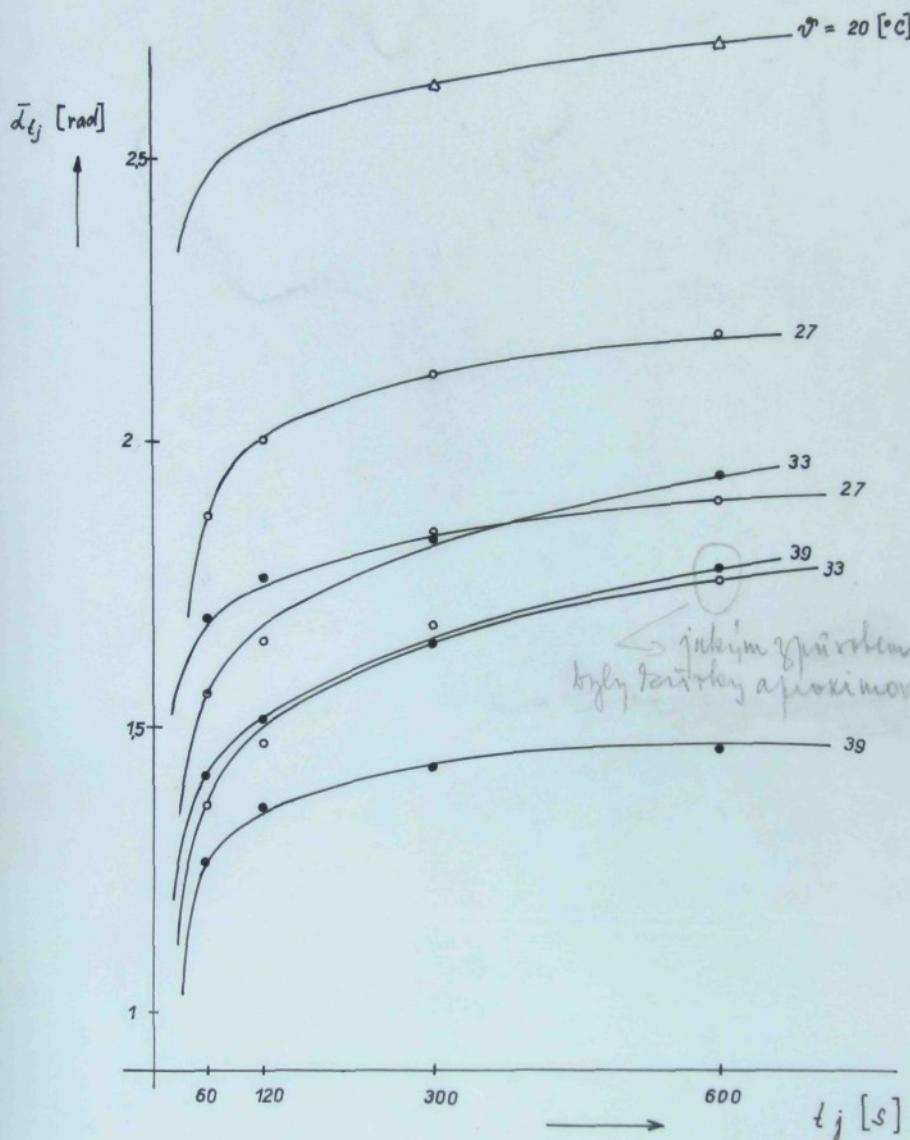
Rýchlosť prostupu tepla od doštičky cez textiliu v jednotlivých druhoch materiálov sa v podstate nelíši. Nábeh teploty je približne u bavlny najrýchlejší a u materiálu vl/PES najpomalší. Z toho vyplývá, že hrubka textilie má vplyv na prostup tepla.



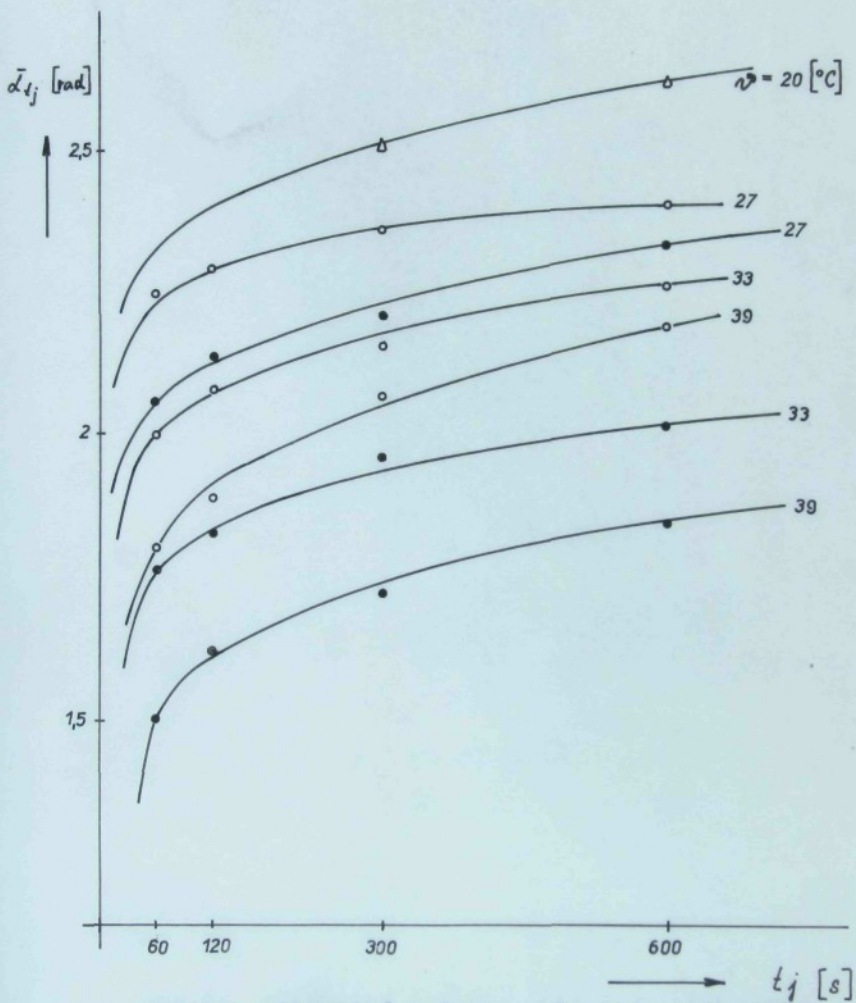
obr.11 Závislosť priemernej vlhkosti vzorkov  
v jednotlivých j-tých intervaloch teplôt  
na teplote pre  $\varphi = 65 \pm 5 \%$



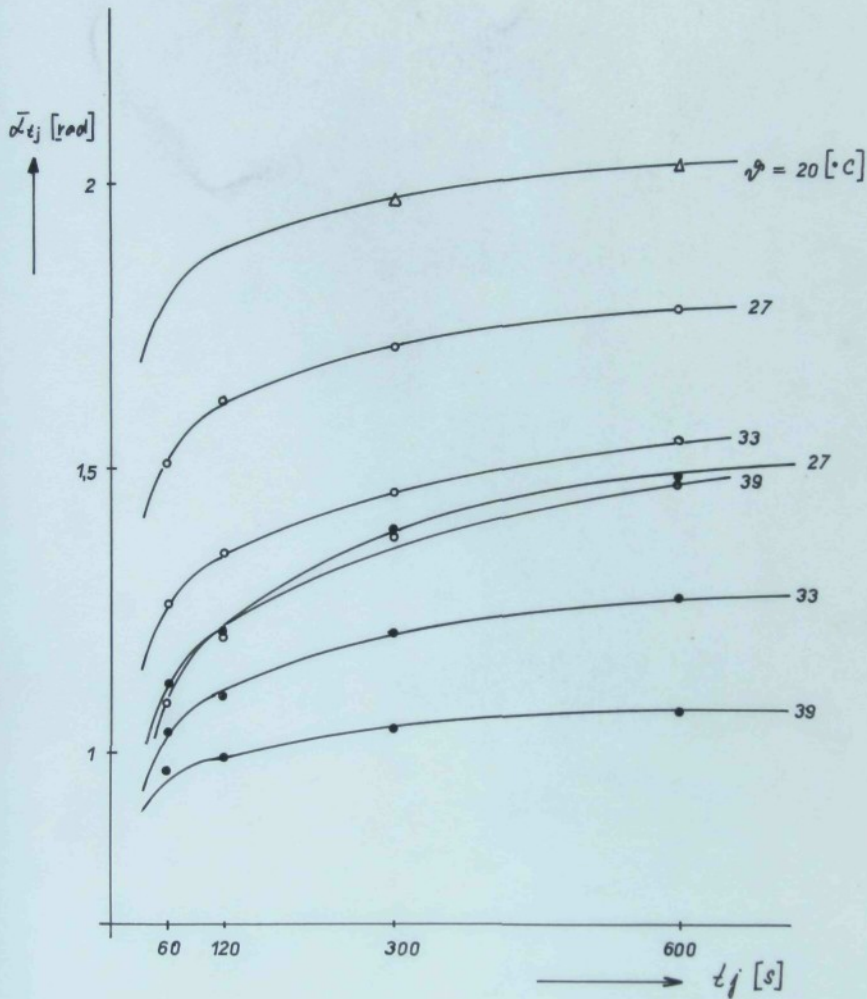
obr.12 Závislosť priemernej vlhkosti vzorkov  
v jednotlivých j-tých intervaloch teplôt  
na teplotu pre  $\varphi = 85 \pm 5\% [ \cdot ]$



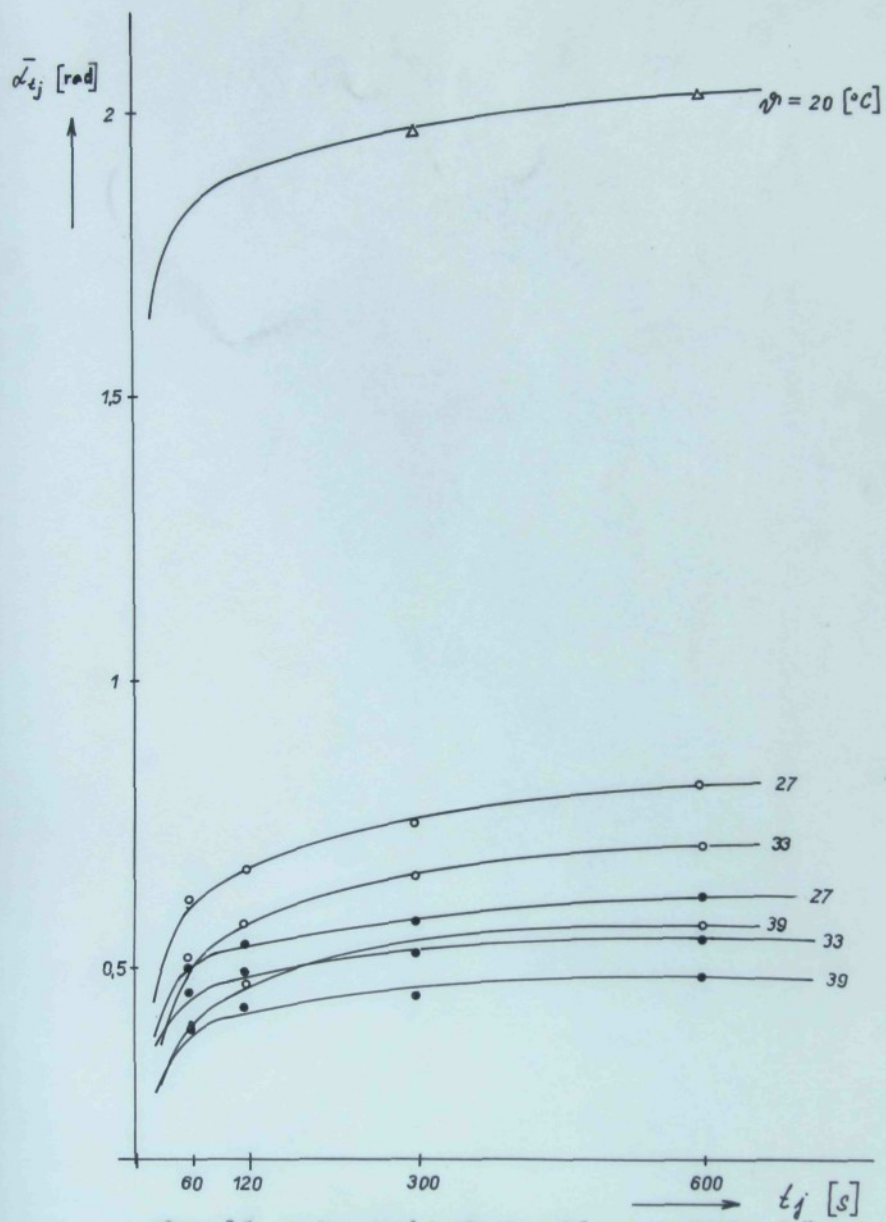
obr.13 Priemerné hodnoty uhlu zotavenia mačkavosti plošnej textilie v závislosti na zotavovacom čase pre materiál VS/PES



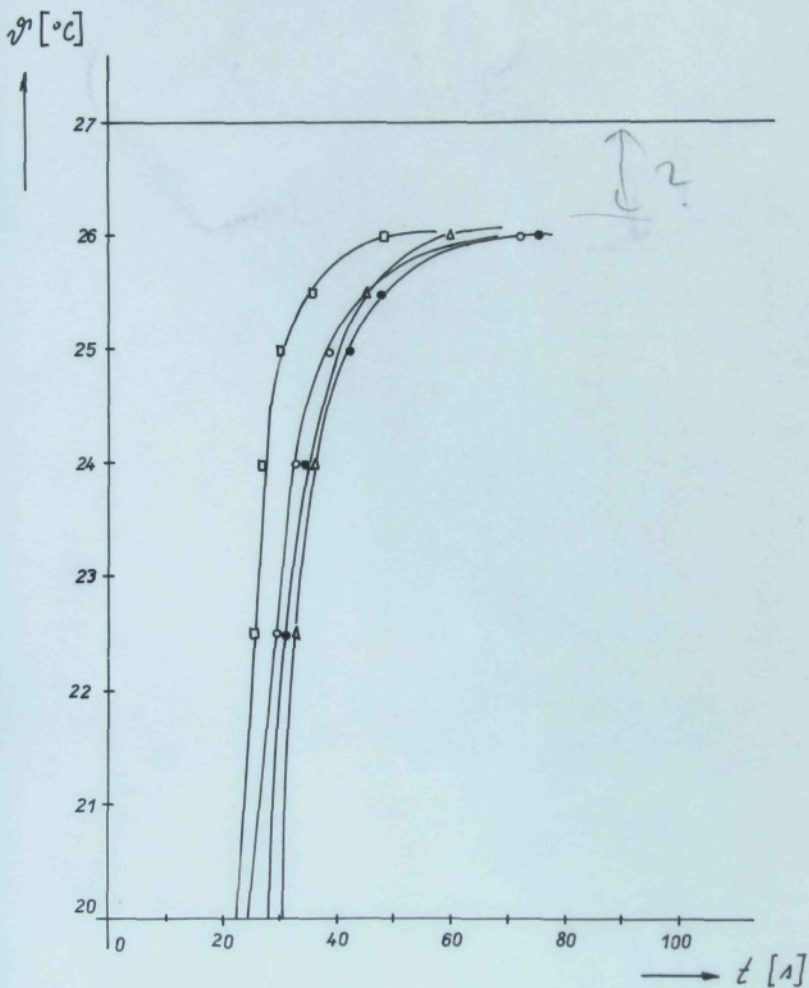
obr.14 Priemerné hodnoty uhlu zotavenia mačkavosti plošnej textilie v závislosti na zotavovacom čase pre materiál vl/PES



obr.15 Priemerné hotnoty uhlu zotavenia mačkavosti plošnej textilie v závislosti na zotavovacom čase pre materiál ba/PES

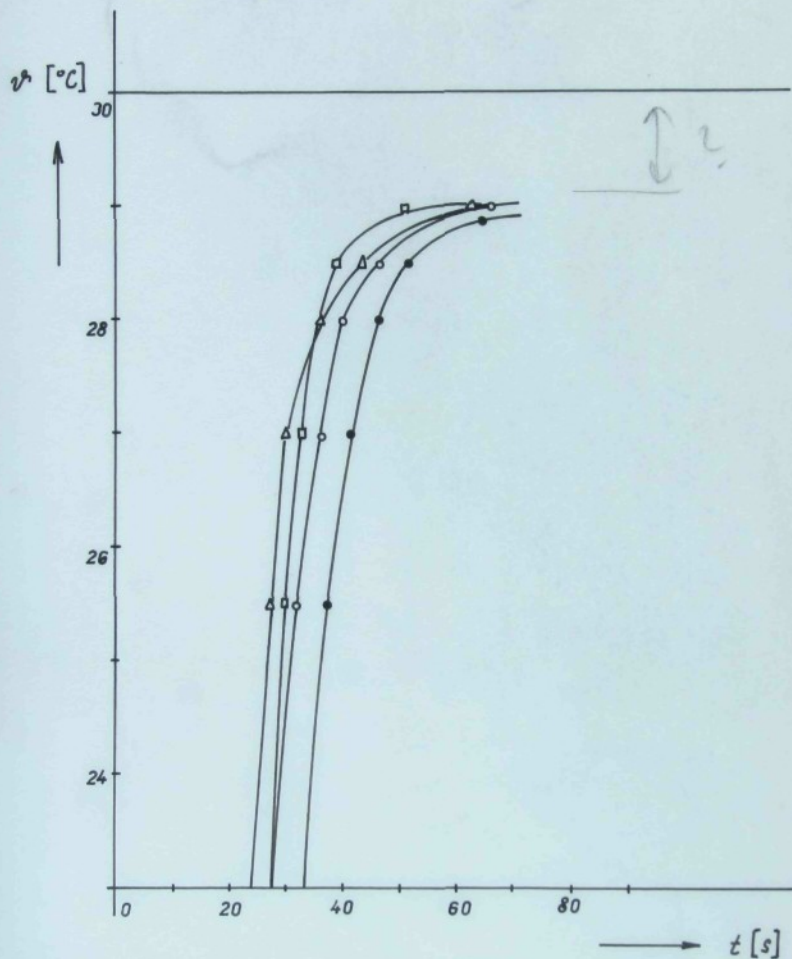


obr. 16 Priemerné hodnoty uhlu zotavenia mačkavosti plošnej textilie v závislosti na zotavovacom čase pre materiál ba

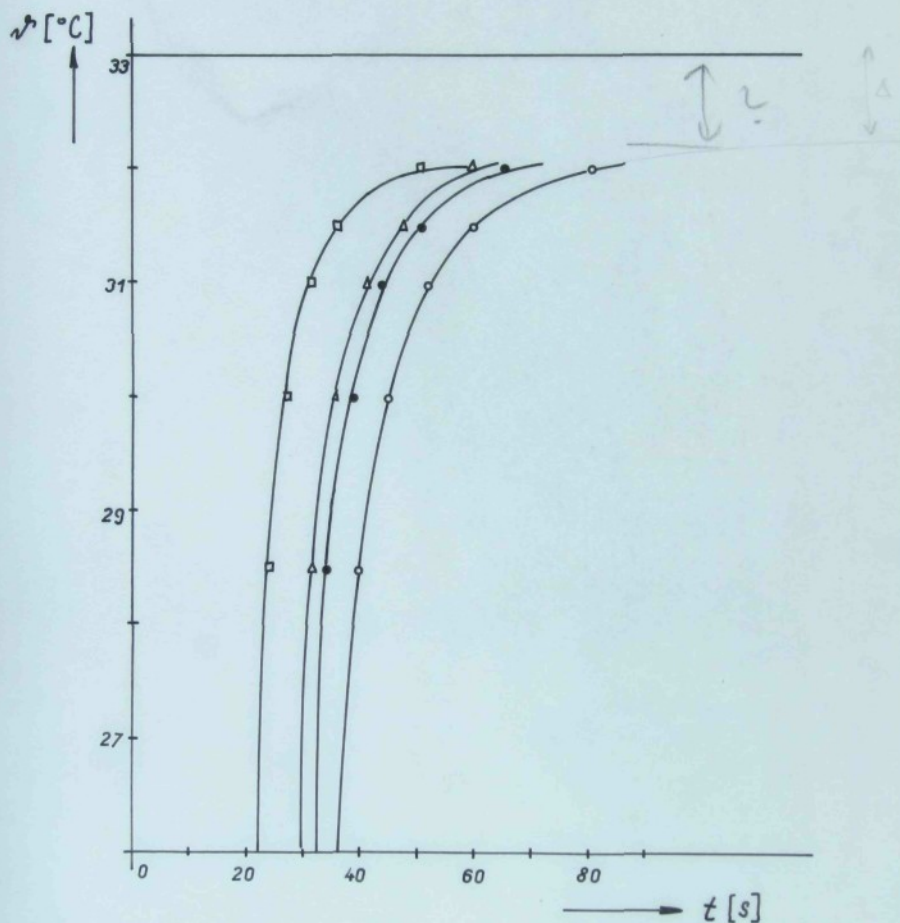


obr.17 Nábeh teploty v textilií v závislosti na čase

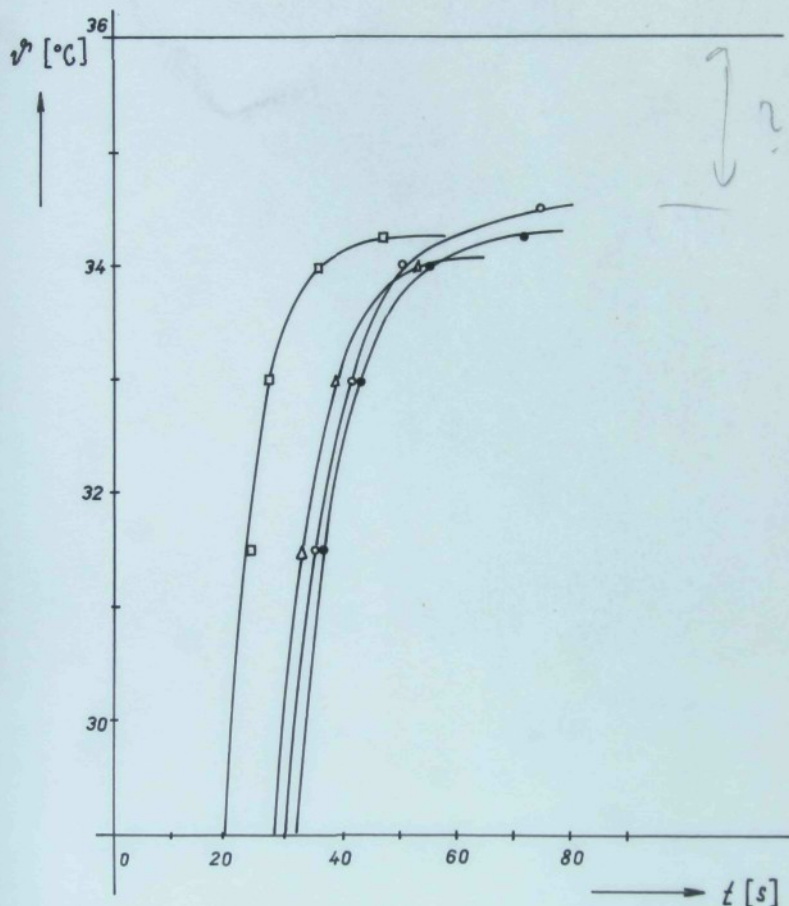
obdobie v teplote  
vysokom praci zdržuje

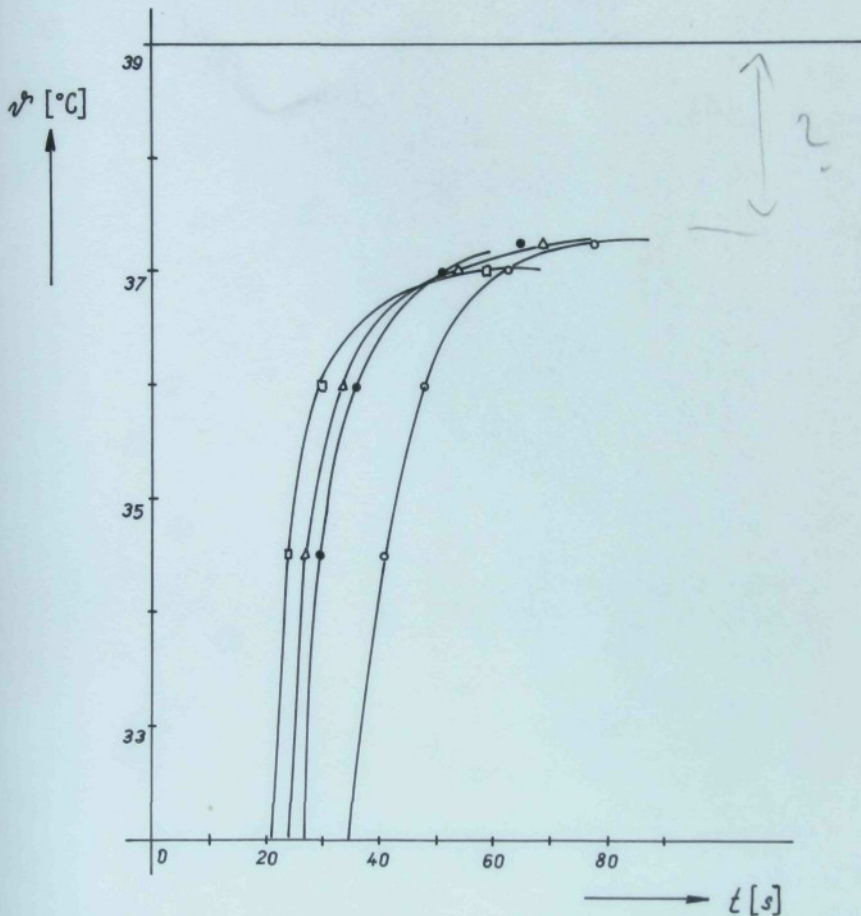
obr.18 Nábeh teploty v textilii v závislosti  
na čase

f

Obr.19 Nábeh teploty v textilii v závislosti  
na čase

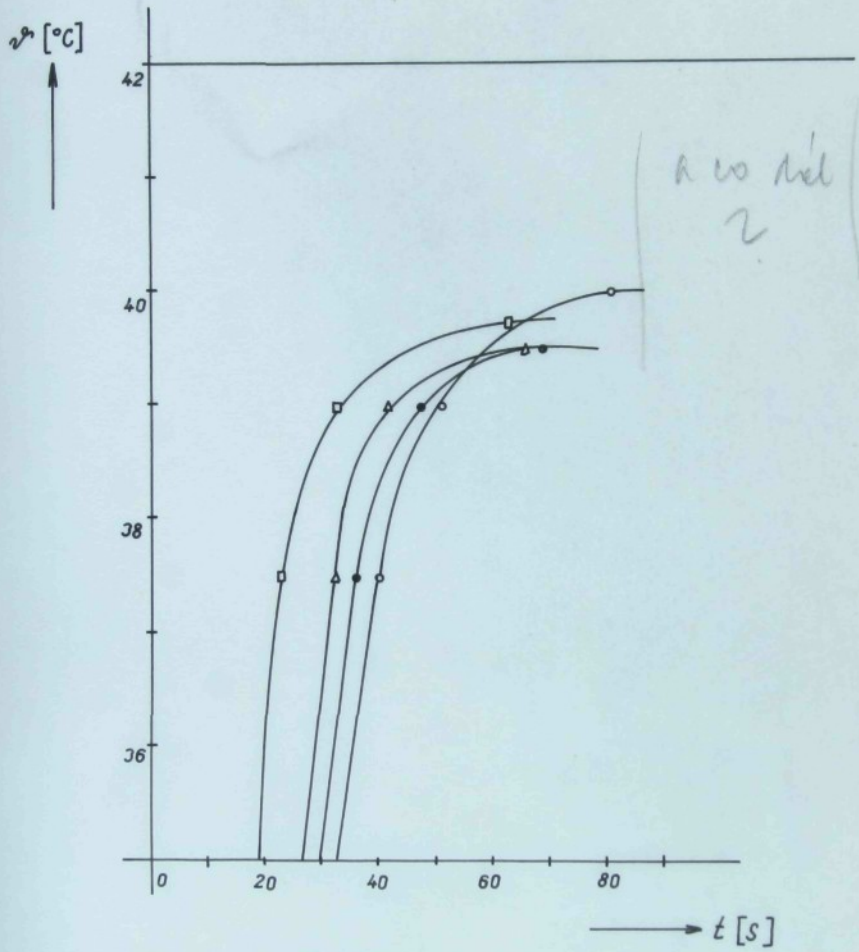
H

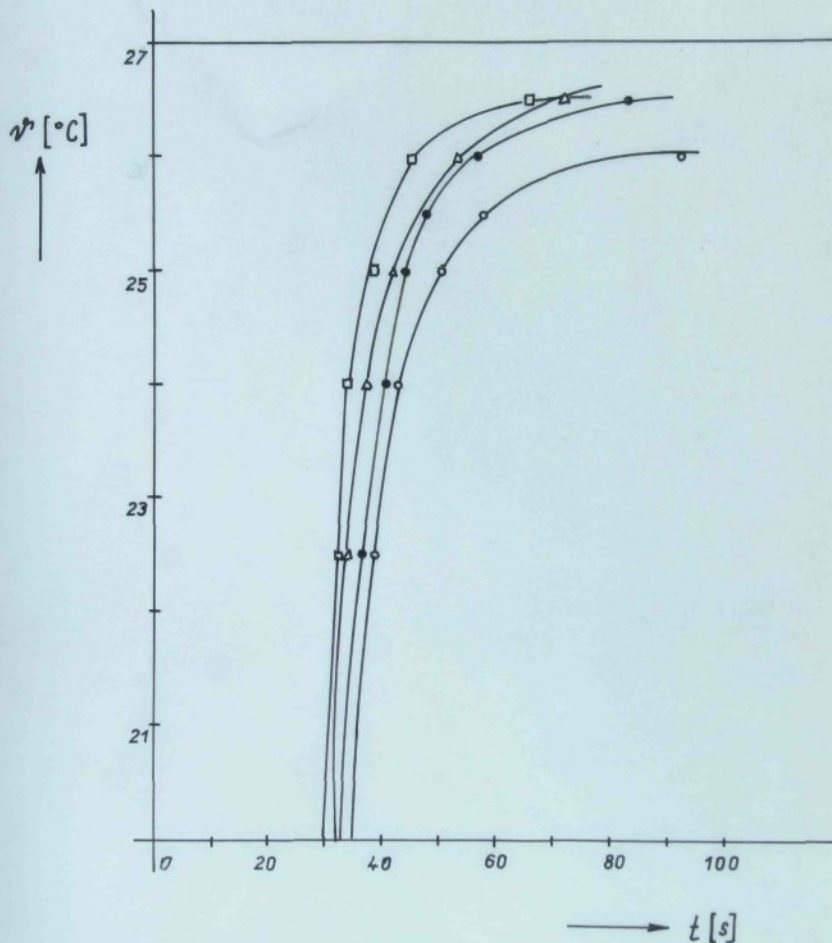
obr.20 Nábeh teploty v textilii v závislosti  
na čase



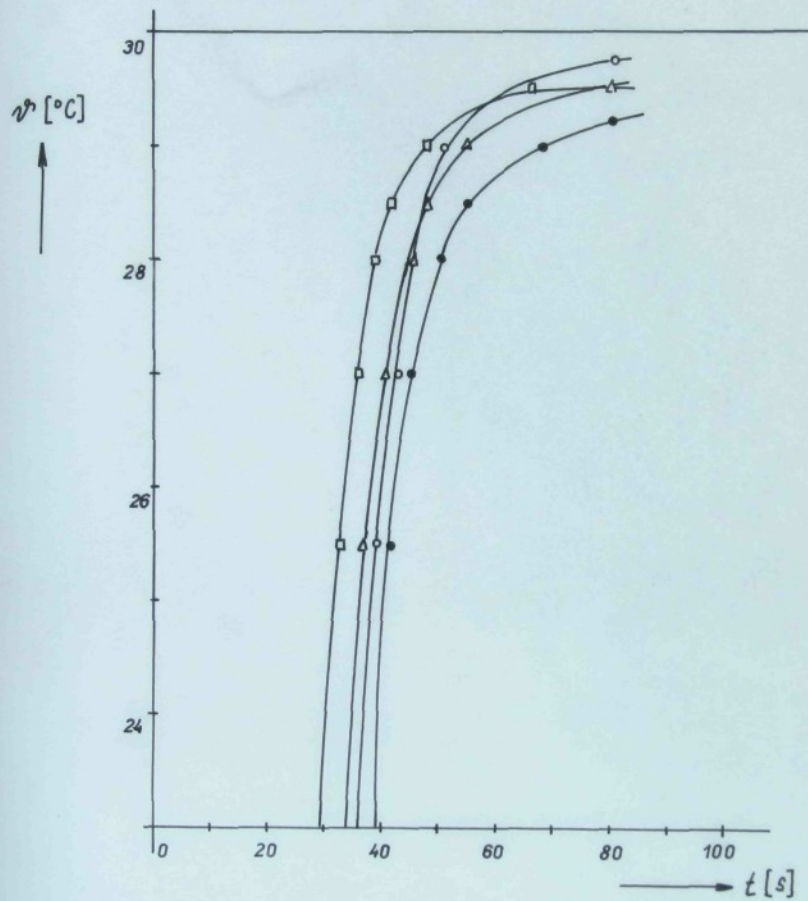
obr.21 Nábeh teploty v textilii v závislosti na čase

H

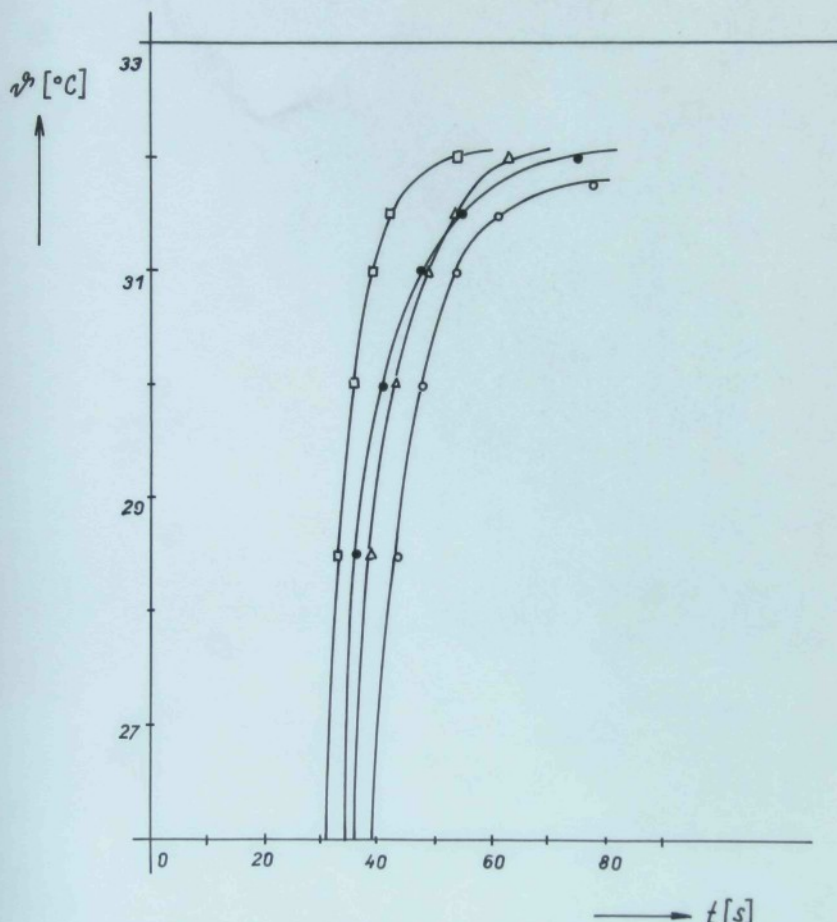
obr.22 Nábeh teploty v textilii v závislosti  
na čase



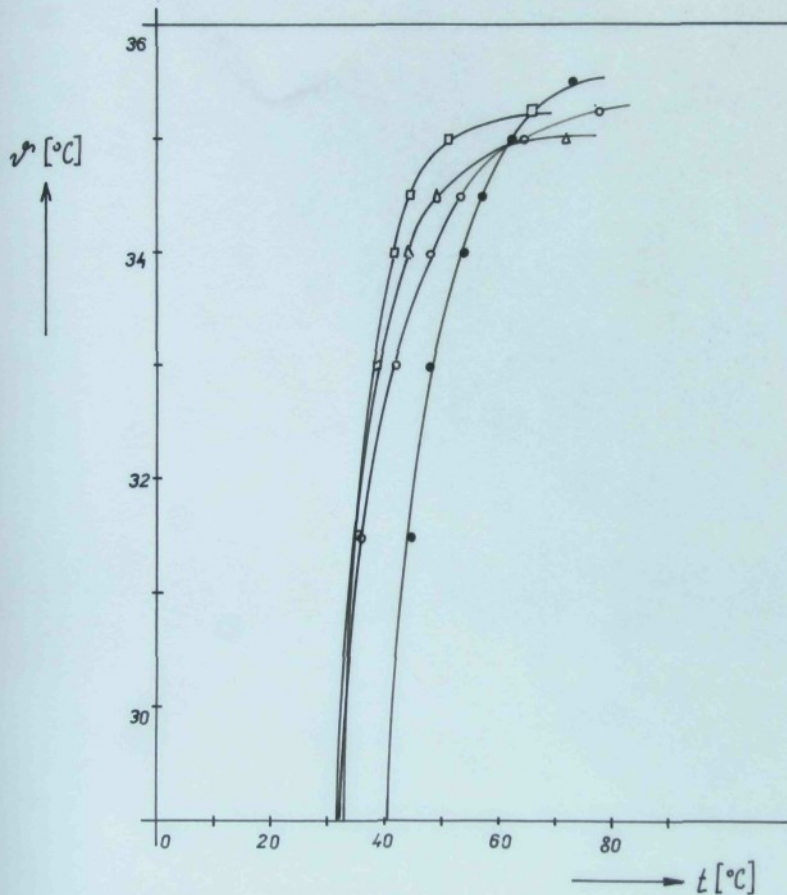
obr.23 Nábeh teploty v textilii v závislosti  
na čase



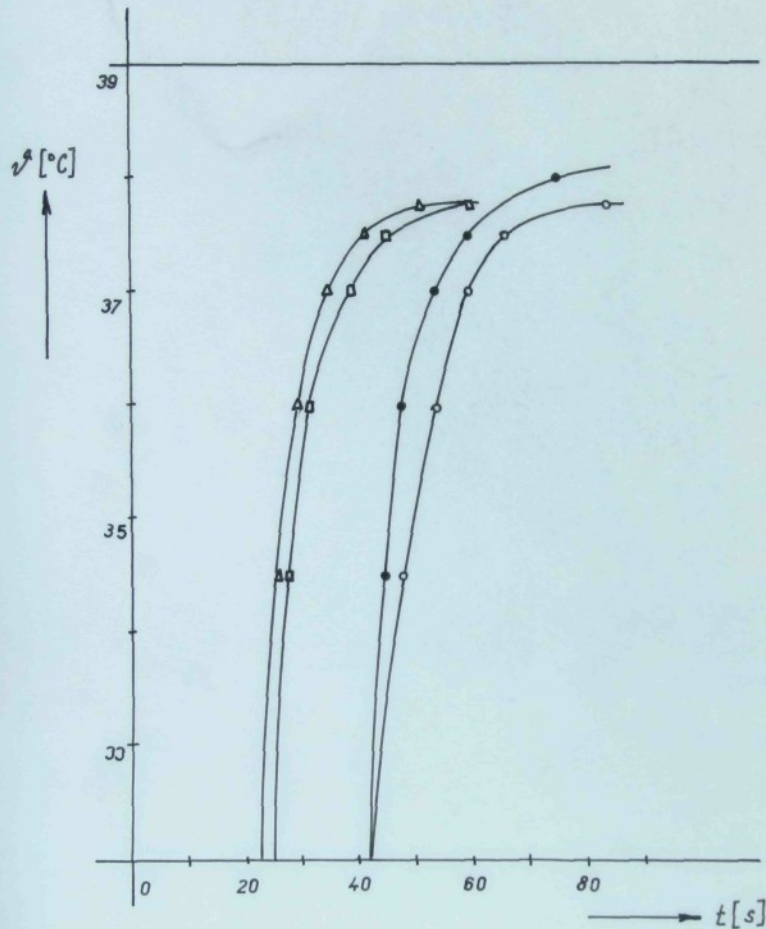
obr.24 Nábeh teploty v textilii v závislosti na čase



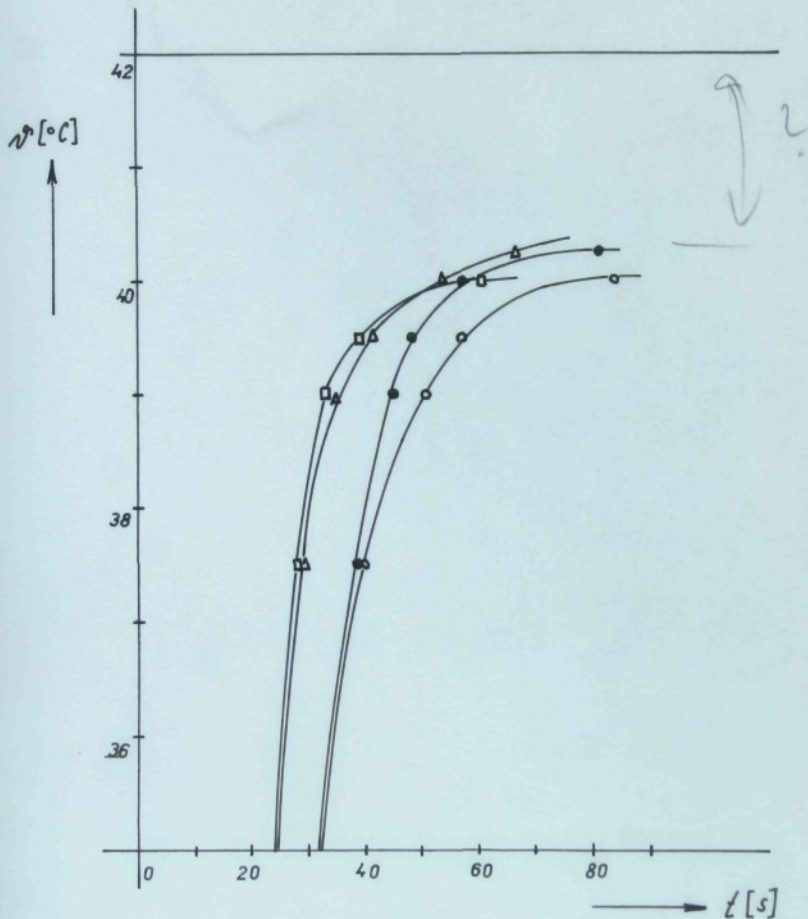
obr.25 Nábeh teploty v textilii v závislosti na čase



obr.26 Nábeh teploty v textilií v závislosti na čase



obr. 27 Nábeh teploty v textilii v závislosti  
na čase



obr.28 Nábeh teploty v textilií v závislosti na čase

## ZÁVER

Práca pojednáva o sledovaní uhlu zotavenia mačkavosti plošnej textilie za pôsobenia tlaku, teploty a vlhkosti, ktoré spôsobuje ľudský organizmus.

Za týmto účelom bolo zostrojené skúšobné zariadenie - simulátor teploty a vlhkosti. Tiež bola navrhnutá simulačná metoda merania uhlu zotavenia mačkavosti plošnej textilie a prevedené meranie na rôznych druhoch vrchných materiálov, ktoré sa používajú pri bežnom nosení odevov.

Navrhnutou metódou bol sledovaný vplyv teploty a vlhkosti na zotavovaciu schopnosť textilie. Bolo zistené, že teplota a vlhkosť majú podstatný vplyv na výslednú mačkavosť, však väčší vplyv má vlhkosť.

Z toho možno vyvodiť záver, že mačkavosť za fyziológických podmienok je značne odlišná od mačkavosti za klimatických podmienok.

Dosiahnuté výsledky sú ďalším prínosom ku skúšaniu odevných textilií, kde práve vplyv teploty a vlhkosti podstatne ovplyvňuje priestorové deformačné zmeny odevných materiálov a tým ich reprezentatívne vlastnosti a užitnú hodnotu.

Záverom považujem za svoju milú povinnosť poďakovať sa s.ing. J. Staňkovi za odborné vedenie pri spracovávaní zadanej diplomovej práce. Tiež ďakujem laborantkám s. Švorcovej a Stekľej za trpežlivosť, ochotu pri prevádzaní laboratórnych meraní.

## LITERATÚRA

- [1] Staněk, J.: Odevné materiály a fyziológia odievania. Prednášky VŠST, Liberec, 1976/77
- [2] Hladík, V. a kolektív: Textilní vlákna. SNTL, Praha 1970
- [3] Janů, P.: Vliv oděvu na některé základní fyziologické funkce. Hygienický ústav Fakulty všeobecného lékařství KU v Praze, Praha 1972
- [4] Referáty z fyziologie odívání. Mezinárodní konference, Dornbirn 1970
- [5] Sýkora, K.; Kalčík, J.: Technická termomechanika. Academia, Praha 1973
- [6] Skoušení mačkavosti tkanín. ČSN 80 0819
- [7] Pavlova, J.: Provedete aplikaci metodiky plánování experimentů při matematickém modelování jako funkce tří faktorů. Diplomová práce, VŠST, Liberec 1976
- [8] Mechellels, J.; Schmieder, F.: Einflüsse des Aufbaus der Textilien auf den Durchgang von Wärme und Feuchte. Melliand Textilberichte, č.12, 1972, s.1403-1411
- [9] Elder, H.M.: The Effect of Temperature and Humidity on the Flexural Rigidity of Some Man-made-fibre Fabrics. J.Text.Inst., č.57, 1966, s.541-544
- [10] Mechellels, J.: Physiological Properties of Knitgoods, Hosiery Times, č.1, 1965, s. 43-84

tab.1

VS/PES				
i	$m_{s_i}$ [g]	$r_{s_i}$ [%]	$m_{k_i}$ [g]	$r_{k_i}$ [%]
1	0,1697	0	0,1778	4,773
2	0,1814	0	0,1894	4,410
3	0,1748	0	0,1819	4,062
$\Sigma$	0,5259		0,5491	14,286
$\bar{r}_k$				4,762
vl/PES				
1	0,2022	0	0,2128	5,242
2	0,1957	0	0,2064	5,468
3	0,2032	0	0,2128	4,724
$\Sigma$	0,6011		0,6320	15,434
$\bar{r}_k$				5,144
ba/PES				
1	0,1517	0	0,1580	4,153
2	0,1503	0	0,1568	4,325
3	0,1532	0	0,1593	3,981
$\Sigma$	0,4446		0,4741	12,459
$\bar{r}_k$				4,153
ba				
1	0,0995	0	0,1080	8,542
2	0,1000	0	0,1078	7,800
3	0,0994	0	0,1081	8,753
$\Sigma$	0,2989		0,3239	25,095
$\bar{r}_k$				8,365

Najm. členov miskedov využívajúce?  
(ne 100%)?

tab. č. 2

VS / PBS       $\varphi = 65 \pm 5 [\%]$ 

		interval j						interval 6											
		1			2			3			4			5			6		
		toplotə [°C]						39						42					
j		$m_{v_{i_1}} [g]$	$r_{v_{i_1}} [\%$	$m_{v_{i_2}} [g]$	$r_{v_{i_2}} [\%$	$m_{v_{i_3}} [g]$	$r_{v_{i_3}} [\%$	$m_{v_{i_4}} [g]$	$r_{v_{i_4}} [\%$	$m_{v_{i_5}} [g]$	$r_{v_{i_5}} [\%$	$m_{v_{i_6}} [g]$	$r_{v_{i_6}} [\%$	$m_{v_{i_7}} [g]$	$r_{v_{i_7}} [\%$	$m_{v_{i_8}} [g]$	$r_{v_{i_8}} [\%$	$m_{v_{i_9}} [g]$	$r_{v_{i_9}} [\%$
1	0,1753	3,300	0,1745	2,829	0,1739	2,475	0,1733	2,121	0,1730	1,945	0,1727	1,768							
2	0,1864	2,756	0,1855	2,260	0,1850	1,985	0,1844	1,654	0,1840	1,433	0,1838	1,323							
3	0,1804	3,203	0,1795	2,689	0,1790	2,403	0,1784	2,059	0,1781	1,388	0,1779	1,773							
$\Sigma$	0,5421	9,259	0,5395	7,778	0,5379	6,863	0,5361	5,834	0,5351	5,266	0,5344	4,364							
$\bar{r}_{v_j}$	3,086		2,593			2,288			1,945		1,755							1,621	
v1 / PBS																			
1	0,2099	3,803	0,2091	3,412	0,2085	3,116	0,2077	2,720	0,2072	2,473	0,2069	2,324							
2	0,2038	4,139	0,2029	3,679	0,2021	3,270	0,2013	2,861	0,2008	2,606	0,2004	2,402							
3	0,2111	3,888	0,2101	3,396	0,2087	2,707	0,2079	2,313	0,2073	2,018	0,2070	1,370							
$\Sigma$	0,6248	11,835	0,6221	10,437	0,6193	9,093	0,6169	7,894	0,6153	7,097	0,6143	6,596							
$\bar{r}_{v_j}$	3,945		3,496			3,031			2,631		2,366		2,199						

tab.3

		ba / PES						$\varphi = 65 \pm 5 [\%]$											
		interval_j																	
		1			2			3			4			5			6		
		toplot_a [°C]																	
i	$m_{v_{i_1}} [g]$	$r_{v_{i_1}} [\%$	$m_{v_{i_2}} [g]$	$r_{v_{i_2}} [\%$	$m_{v_{i_3}} [\varepsilon]$	$r_{v_{i_3}} [\varepsilon]$	$m_{v_{i_4}} [\varepsilon]$	$r_{v_{i_4}} [\varepsilon]$	$m_{v_{i_5}} [\varepsilon]$	$r_{v_{i_5}} [\varepsilon]$	$m_{v_{i_6}} [\varepsilon]$	$r_{v_{i_6}} [\varepsilon]$							
1	0,1567	3,296	0,1561	2,900	0,1557	2,637	0,1553	2,373	0,1552	2,307	0,1552	2,307							
2	0,1564	4,058	0,1559	3,726	0,1556	3,526	0,1554	3,393	0,1554	3,393	0,1554	3,393							
3	0,1580	3,133	0,1576	2,872	0,1573	2,676	0,1571	2,546	0,1570	2,480	0,1569	2,415							
$\Sigma$	0,4711	10,487	0,4696	9,498	0,4686	8,839	0,4678	8,312	0,4676	8,180	0,4675	8,115							
$\bar{r}_{v_j}$	3,496			3,166		2,946		2,771		2,727		2,705							
ba																			
1	0,1056	6,131	0,1050	5,528	0,1045	5,025	0,1040	4,418	0,1040	4,418	0,1040	4,418							
2	0,1065	6,500	0,1059	5,900	0,1055	5,500	0,1050	5,000	0,1050	5,000	0,1047	5,000							
3	0,1061	6,740	0,1057	6,338	0,1052	5,835	0,1048	5,433	0,1047	5,332	0,1046	5,231							
$\Sigma$	0,3182	19,371	0,3166	17,766	0,3152	16,360	0,3138	14,851	0,3137	14,750	0,3133	14,649							
$\bar{r}_{v_j}$	6,457			5,922		5,453		4,950		4,916		4,883							

tab. 4

$$V_{\mathrm{S}} / \mathrm{PES} = 85 \pm 5 [\%]$$

VS / PES		interval j						v1 / PES				
		teplota [°C]										
i	$m_{Vi_1}$ [%]	$r_{Vi_1}$ [g]	$m_{Vi_2}$ [%]	$r_{Vi_2}$ [g]	$m_{Vi_3}$ [%]	$r_{Vi_3}$ [g]	$m_{Vi_4}$ [%]	$r_{Vi_4}$ [g]	$m_{Vi_5}$ [%]	$r_{Vi_5}$ [g]	$m_{Vi_6}$ [%]	$r_{Vi_6}$ [g]
1	0,2001	17,914	0,1936	17,030	0,1898	11,344	0,1829	7,778	0,1784	5,127	0,1757	3,536
2	0,2203	21,720	0,2120	16,869	0,2016	11,136	0,1946	7,277	0,1898	4,631	0,1862	2,646
3	0,2084	19,221	0,1988	13,730	0,1952	11,670	0,1882	7,666	0,1841	5,320	0,1809	3,490
$\Sigma$	0,6293	58,855	0,6094	47,629	0,5866	34,650	0,5657	22,721	0,5523	15,078	0,5428	9,672
$\bar{r}_{Vj}$		19,618		15,876		11,550		7,574		5,026		3,224
1	0,2552	26,212	0,2421	19,732	0,2301	15,281	0,2202	8,902	0,2143	5,984	0,2103	4,006
2	0,2482	26,326	0,2357	20,439	0,2229	13,899	0,2126	8,636	0,2070	5,774	0,2040	4,241
3	0,2512	23,622	0,2397	17,963	0,2285	12,451	0,2198	8,169	0,2143	5,463	0,2102	3,445
$\Sigma$	0,7452	76,660	0,7175	58,134	0,6815	41,631	0,6526	25,707	0,6356	17,221	0,6245	11,692
$\bar{r}_{Vj}$		25,553		19,378		13,877		8,569		5,740		3,897

tab.5

		ba / PES		$\varphi = 85 \pm 5 [\%]$	
		interval j			
		1	2	3	4
		toplotat [°C]			
i		27	30	33	36
		$m_{V_{i1}} [g]$	$r_{V_{i2}} [\%]$	$m_{V_{i3}} [\%]$	$r_{V_{i4}} [\%]$
1	0,1676	10,481	0,1635	7,773	0,1610
2	0,1671	11,178	0,1631	8,516	0,1606
3	0,1687	10,117	0,1645	7,375	0,1624
$\Sigma$	0,5034	31,776	0,4897	23,669	0,4840
$\bar{r}_{V_j}$	10,592		7,889		6,329
					4,835
					3,911
					3,208
ba					
1	0,1162	16,784	0,1127	13,266	0,1096
2	0,1179	17,900	0,1141	14,100	0,1108
3	0,1171	17,570	0,1138	14,487	0,1109
$\Sigma$	0,3512	52,254	0,3406	41,853	0,3313
$\bar{r}_{V_j}$	17,418		13,951		10,803
					7,793
					6,856
					5,786

tab. 6

		VS/PES				
		i	interval $j$			
			1	2	3	
			čas t	[s]	4	
po osnové	lice	60	120	300	600	
		1	2,54	2,62	2,73	
		2	2,55	2,60	2,74	
		3	2,58	2,67	2,70	
		4	2,72	2,79	2,84	
	rub	5	2,67	2,77	2,84	
		6	2,62	2,67	2,70	
		7	2,58	2,68	2,76	
		8	2,64	2,68	2,76	
		9	2,61	2,68	2,78	
po útku	lice	10	2,57	2,68	2,74	
		11	2,60	2,68	2,77	
		12	2,58	2,68	2,77	
		13	2,63	2,69	2,76	
		14	2,69	2,74	2,81	
	rub	15	2,74	2,83	2,90	
		16	2,74	2,80	2,86	
		17	2,60	2,66	2,72	
		18	2,60	2,69	2,78	
		19	2,64	2,70	2,78	
		20	2,61	2,66	2,71	
		$\Sigma$	52,51	53,97	55,54	
		$\bar{t}_{ij}$	2,63	2,70	2,77	
					2,81	

$\text{f} \quad \text{menší, hrdzavý norm. } \varphi$   
 $\text{mezikonci } (\varphi = 65\%)$

tab. 6, f, p, 9

právnický výplním.  
 $\text{X}$

tab.7

		vl/PES					
		i	interval j				
			1	2	3	4	
			čas t [s]				
po osnovе		lice	60	120	300	600	
			1	2,60	2,70	2,75	2,80
			2	2,51	2,70	2,77	2,82
			3	2,50	2,65	2,72	2,81
			4	2,54	2,71	2,79	2,83
			5	2,66	2,71	2,80	2,83
			6	2,40	2,47	2,54	2,64
			7	2,43	2,50	2,60	2,67
			8	2,41	2,62	2,71	2,76
			9	2,48	2,55	2,60	2,68
po útku		rub	10	2,24	2,34	2,58	2,60
			11	2,46	2,62	2,71	2,85
			12	2,56	2,63	2,73	2,85
			13	2,50	2,60	2,76	2,80
			14	2,59	2,78	2,85	2,92
			15	2,52	2,58	2,68	2,70
			16	2,41	2,59	2,63	2,66
			17	2,55	2,64	2,72	2,75
			18	2,54	2,61	2,67	2,71
			19	2,59	2,68	2,70	2,76
			20	2,65	2,65	2,71	2,76
		$\sum$	50,14	52,33	54,02	55,20	
			$\bar{z}_{tj}$	2,51	2,62	2,70	2,76

tab.8

		ba/PES					
		i	interval j				
			1	2	3	4	
			čas t	[s]			
		po osnové	60	120	300	600	
			1	2,11	2,19	2,23	
			2	2,09	2,13	2,20	
			3	2,01	2,08	2,13	
			4	2,10	2,15	2,23	
			5	2,17	2,25	2,29	
			6	1,91	2,00	2,05	
			7	2,03	2,07	2,10	
			8	2,01	2,04	2,09	
			9	2,04	2,10	2,12	
		po útku	10	2,05	2,09	2,18	
			11	1,74	1,95	2,28	
			12	1,89	1,91	2,00	
			13	1,92	1,98	2,04	
			14	2,07	2,09	2,12	
			15	1,98	2,00	2,06	
			16	1,95	1,98	2,00	
			17	1,85	1,90	1,97	
			18	1,86	1,93	1,95	
			19	1,81	1,86	1,86	
			20	1,88	1,92	1,95	
		$\Sigma$		39,47	40,62	41,85	
		$\bar{t}_{ij}$		1,97	2,03	2,09	
						2,12	

tab.9

		ba					
		i	interval j				
			1	2	3	4	
			čas t [s]				
			60	120	300	600	
po osnové		1	1,02	1,08	1,09	1,10	
		2	1,04	1,10	1,14	1,16	
		3	1,16	1,20	1,25	1,26	
		4	1,09	1,20	1,25	1,26	
		5	1,20	1,21	1,30	1,31	
		6	0,97	1,03	1,05	1,06	
		7	1,03	1,10	1,11	1,12	
		8	1,04	1,08	1,14	1,14	
		9	1,16	1,20	1,24	1,25	
		10	1,20	1,21	1,22	1,40	
po útku		11	1,28	1,46	1,50	1,57	
		12	1,29	1,40	1,44	1,50	
		13	1,34	1,37	1,38	1,39	
		14	1,29	1,32	1,38	1,40	
		15	1,45	1,55	1,63	1,65	
		16	1,11	1,15	1,16	1,21	
		17	1,00	1,02	1,03	1,04	
		18	0,85	0,86	0,87	0,90	
		19	0,76	0,79	0,81	0,83	
		20	1,02	1,05	1,07	1,12	
		Σ	22,30	23,39	24,06	24,67	
		$\bar{d}_{tj}$	1,12	1,17	1,20	1,23	

tab.10

		VS/PES				$\vartheta = 27 [^{\circ}\text{C}]$
i	osnova	interval j				
		1	2	3	4	
		čas t [s]				
útok	1	60	120	300	600	
	2	1,84	1,99	2,12	2,18	
	3	1,79	1,99	2,12	2,21	
	4	1,93	2,04	2,12	2,18	
	5	1,91	2,05	2,12	2,18	
	6	1,88	2,00	2,12	2,21	
$\bar{d}_{tj}$	$\Sigma$	1,90	2,00	2,10	2,18	
		11,25	12,07	12,70	13,14	
		1,87	2,01	2,12	2,19	

tab.11

		VS/PES				$\vartheta = 30 [^{\circ}\text{C}]$
i	osnova	interval j				
		1	2	3	4	
		čas t [s]				
útok	1	60	120	300	600	
	2	1,83	1,95	2,07	2,16	
	3	1,74	1,84	2,02	2,09	
	4	1,77	1,95	2,09	2,19	
	5	1,74	1,83	2,00	2,07	
	6	1,80	1,91	2,04	2,10	
$\bar{d}_{tj}$	$\Sigma$	1,84	1,95	2,04	2,10	
		10,72	11,43	12,26	12,71	
		1,79	1,90	2,04	2,12	

tab.12

		VS/PES				$\mathcal{F} = 33$ [°C]
i	osnova	interval $j$				
		1	2	3	4	
		čas	t [s]			
útok	1	60	120	300	600	
	2	1,48	1,64	1,83	1,93	
	3	1,57	1,64	1,84	1,99	
	4	1,53	1,60	1,74	1,80	
	5	1,58	1,66	1,88	2,00	
	6	1,66	1,74	1,88	2,02	
$\bar{\alpha}_{tj}$	$\Sigma$	9,39	9,92	11,07	11,65	
		1,56	1,65	1,84	1,94	

tab.13

		VS/PES				$\mathcal{F} = 36$ [°C]
i	osnova	interval $j$				
		1	2	3	4	
		čas	t [s]			
útok	1	60	120	300	600	
	2	1,44	1,62	1,83	1,95	
	3	1,44	1,60	1,88	1,91	
	4	1,46	1,67	1,86	1,93	
	5	1,44	1,57	1,77	1,84	
	6	1,44	1,62	1,83	1,91	
$\bar{\alpha}_{tj}$	$\Sigma$	8,66	9,72	10,96	11,56	
		1,44	1,62	1,83	1,93	

tab.14

VS/PES		$\vartheta = 39 [{}^{\circ}\text{C}]$			
osnova	i	interval j			
		1	2	3	4
		čas t [s]			
		60	120	300	600
osnova	1	1,30	1,41	1,60	1,70
	2	1,39	1,50	1,70	1,83
	3	1,29	1,37	1,51	1,60
útok	4	1,36	1,46	1,70	1,79
	5	1,43	1,53	1,74	1,84
	6	1,41	1,57	1,83	1,93
	$\Sigma$	8,18	8,84	10,08	10,69
	$\bar{d}_{tj}$	1,36	1,47	1,68	1,78

tab.15

VS/PES		$\vartheta = 42 [{}^{\circ}\text{C}]$			
osnova	i	interval j			
		1	2	3	4
		čas t [s]			
		60	120	300	600
osnova	1	1,13	1,25	1,46	1,64
	2	1,27	1,46	1,62	1,74
	3	1,27	1,39	1,43	1,76
útok	4	1,24	1,37	1,57	1,72
	5	1,20	1,46	1,66	1,69
	6	1,43	1,53	1,67	1,80
	$\Sigma$	7,54	8,46	9,41	10,35
	$\bar{d}_{tj}$	1,26	1,41	1,57	1,72

tab.16

$t_j \backslash \vartheta$	27	30	33	36	39	42
60	1,87	1,79	1,56	1,44	1,36	1,26
120	2,01	1,90	1,65	1,62	1,47	1,41
300	2,12	2,04	1,84	1,83	1,68	1,57
600	2,19	2,12	1,94	1,93	1,78	1,72

tab.17

		vl/PES				$\vartheta = 27 [{}^{\circ}\text{C}]$		
		i	interval $j$					
			1	2	3	4		
			čas t [s]					
		osnova	60	120	300	600		
			1	2,19	2,23	2,30	2,33	
			2	2,14	2,18	2,24	2,31	
			3	2,30	2,33	2,37	2,40	
			4	2,30	2,37	2,45	2,49	
			5	2,28	2,31	2,38	2,42	
			6	2,28	2,31	2,42	2,44	
		$\Sigma$	13,49	13,73	14,16	14,39		
			$\bar{x}_{tj}$	2,25	2,29	2,36	2,40	

tab.18

		vl/PES				$\vartheta = 30 [{}^{\circ}\text{C}]$		
		i	interval $j$					
			1	2	3	4		
			čas t [s]					
		osnova	60	120	300	600		
			1	2,16	2,23	2,30	2,38	
			2	2,02	2,05	2,18	2,24	
			3	2,14	2,21	2,30	2,35	
			4	2,23	2,26	2,33	2,38	
			5	2,09	2,18	2,30	2,37	
			6	2,30	2,35	2,40	2,45	
		$\Sigma$	12,94	13,28	13,81	14,17		
			$\bar{x}_{tj}$	2,16	2,21	2,30	2,36	

tab.19

vl/PES		$\vartheta = 33 [{}^{\circ}\text{C}]$			
i	osnova	interval j			
		1	2	3	4
		čas t [s]			
60		120	300	600	
útok	1	1,88	1,97	2,07	2,12
	2	1,97	2,07	2,18	2,28
	3	1,95	2,02	2,14	2,26
	4	2,07	2,14	2,23	2,26
	5	2,07	2,07	2,14	2,31
	6	2,07	2,14	2,26	2,31
$\Sigma$		12,01	12,41	13,02	13,54
$\bar{x}_{tj}$		2,00	2,06	2,16	2,26

tab.20

vl/PES		$\vartheta = 36 [{}^{\circ}\text{C}]$			
i	osnova	interval j			
		1	2	3	4
		čas t [s]			
60		120	300	600	
útok	1	1,84	1,97	2,12	2,21
	2	1,83	1,91	2,14	2,26
	3	1,90	1,99	2,14	2,24
	4	1,79	1,93	2,14	2,21
	5	1,93	2,02	2,23	2,28
	6	1,97	2,07	2,21	2,31
$\Sigma$		11,26	11,89	12,98	13,51
$\bar{x}_{tj}$		1,88	1,98	2,16	2,25

tab. 21

		vl/PES				$\vartheta = 39 [^{\circ}\text{C}]$
		interval j				
i		1	2	3	4	
		čas t [s]				
osnova	1	60	120	300	600	
	1	1,79	1,86	2,02	2,18	
	2	1,77	1,84	2,05	2,16	
	3	1,86	1,95	2,12	2,24	
	4	1,79	1,86	2,02	2,19	
	5	1,83	1,93	2,18	2,26	
útok	6	1,79	1,91	2,05	2,12	
	$\Sigma$	10,83	11,35	12,44	13,15	
	$\bar{x}_{t_j}$	1,80	1,89	2,07	2,19	

tab. 22

		vl/PES				$\vartheta = 42 [^{\circ}\text{C}]$
		interval j				
i		1	2	3	4	
		čas t [s]				
osnova	1	60	120	300	600	
	1	1,67	1,77	2,02	2,14	
	2	1,72	1,77	2,02	2,12	
	3	1,58	1,66	1,95	2,07	
	4	1,72	1,74	1,77	2,05	
	5	1,67	1,83	2,02	2,16	
útok	6	1,67	1,84	2,04	2,18	
	$\Sigma$	10,03	10,61	11,82	12,72	
	$\bar{x}_{t_j}$	1,67	1,77	1,96	2,12	

tab. 23

<del>t</del> <del>θ</del> j	27	30	33	36	39	42
60	2,25	2,16	2,00	1,88	1,80	1,67
120	2,29	2,21	2,06	1,98	1,89	1,76
300	2,36	2,30	2,16	2,16	2,07	1,96
600	2,40	2,36	2,26	2,25	2,19	2,12

tab.24

ba/PES		$\vartheta = 27 [{}^{\circ}\text{C}]$			
i	osnova	interval j			
		1	2	3	4
		čas t [s]			
útok	60	120	300	600	
	1	1,51	1,58	1,66	1,79
	2	1,50	1,60	1,74	1,80
	3	1,51	1,62	1,72	1,77
	4	1,53	1,66	1,70	1,80
	5	1,48	1,58	1,72	1,76
	6	1,51	1,66	1,70	1,76
	$\Sigma$	9,04	9,70	10,24	10,68
	$\bar{x}_{t_j}$	1,51	1,62	1,71	1,78

tab.25

ba/PES		$\vartheta = 30 [{}^{\circ}\text{C}]$			
i	osnova	interval j			
		1	2	3	4
		čas t [s]			
útok	60	120	300	600	
	1	1,39	1,53	1,60	1,74
	2	1,37	1,48	1,60	1,67
	3	1,34	1,44	1,57	1,62
	4	1,30	1,36	1,39	1,64
	5	1,39	1,44	1,55	1,55
	6	1,32	1,43	1,57	1,62
	$\Sigma$	8,11	8,68	9,28	9,84
	$\bar{x}_{t_j}$	1,35	1,45	1,55	1,64

tab.26

ba/PES		$\vartheta = 33 [{}^{\circ}\text{C}]$			
i	osnova	interval j			
		1	2	3	4
		čas t [s]			
osnova	1	60	120	300	600
	2	1,20	1,30	1,51	1,55
	3	1,27	1,37	1,46	1,53
útok	4	1,27	1,30	1,39	1,48
	5	1,32	1,41	1,55	1,60
	6	1,24	1,36	1,44	1,50
	$\Sigma$	7,57	8,10	8,79	9,24
	$\bar{x}_{tj}$	1,26	1,35	1,46	1,54

tab.27

ba/PES		$\vartheta = 36 [{}^{\circ}\text{C}]$			
i	osnova	interval j			
		1	2	3	4
		čas t [s]			
osnova	1	60	120	300	600
	2	1,15	1,24	1,30	1,39
	3	1,17	1,32	1,51	1,57
útok	4	1,18	1,34	1,43	1,50
	5	1,20	1,29	1,39	1,48
	6	1,04	1,29	1,36	1,39
	$\Sigma$	7,01	7,82	8,45	8,83
	$\bar{x}_{tj}$	1,17	1,30	1,41	1,47

tab. 28

ba/PES		$\vartheta = 39 [{}^{\circ}\text{C}]$			
i	osnova	interval j			
		1	2	3	4
		čas t [s]			
útok	60	120	300	600	
	1	1,10	1,22	1,39	1,51
	2	1,06	1,22	1,36	1,46
	3	1,13	1,24	1,41	1,50
	4	1,08	1,22	1,41	1,50
	5	1,08	1,17	1,27	1,39
	6	1,11	1,20	1,43	1,48
$\sum$		6,56	7,27	8,27	8,84
$\bar{d}_{tj}$		1,09	1,21	1,38	1,47

tab. 29

ba/PES		$\vartheta = 42 [{}^{\circ}\text{C}]$			
i	osnova	interval j			
		1	2	3	4
		čas t [s]			
útok	60	120	300	600	
	1	0,85	0,92	1,04	1,13
	2	0,90	1,03	1,11	1,18
	3	1,06	1,17	1,25	1,29
	4	1,03	1,15	1,27	1,32
	5	1,06	1,20	1,30	1,37
	6	1,01	1,10	1,30	1,43
$\sum$		5,91	6,57	7,27	7,72
$\bar{d}_{tj}$		0,98	1,09	1,21	1,28

tab. 30

$t_j^{\vartheta}$	27	30	33	36	39	42
60	1,51	1,35	1,26	1,17	1,09	0,98
120	1,62	1,45	1,35	1,30	1,21	1,09
300	1,71	1,55	1,46	1,41	1,38	1,21
600	1,78	1,64	1,54	1,47	1,47	1,28

tab. 31

ba		$\vartheta = 27 [{}^{\circ}\text{C}]$			
i	osnova	interval j			
		1	2	3	4
		čas t [s]			
	60	120	300	600	
1	0,71	0,73	0,78	0,80	
2	0,57	0,61	0,63	0,70	
3	0,59	0,66	0,70	0,80	
4	0,56	0,61	0,73	0,78	
5	0,59	0,71	0,83	0,92	
6	0,70	0,73	0,82	0,90	
$\Sigma$	3,72	4,05	4,49	4,90	
$\bar{x}_{tj}$	0,62	0,67	0,75	0,82	

tab. 32

ba		$\vartheta = 30 [{}^{\circ}\text{C}]$			
i	osnova	interval j			
		1	2	3	4
		čas t [s]			
	60	120	300	600	
1	0,54	0,59	0,64	0,70	
2	0,54	0,57	0,64	0,75	
3	0,61	0,64	0,66	0,68	
4	0,54	0,57	0,64	0,76	
5	0,54	0,59	0,71	0,76	
6	0,52	0,61	0,70	0,75	
$\Sigma$	3,29	3,57	3,99	4,40	
$\bar{x}_{tj}$	0,55	0,59	0,66	0,73	

tab. 33

		ba			
		$\vartheta = 33 [{}^{\circ}\text{C}]$			
i	osnova	interval j			
		1	2	3	4
		čas t [s]			
	60	120	300	600	
1	0,50	0,64	0,71	0,73	
2	0,52	0,56	0,59	0,68	
3	0,50	0,52	0,64	0,71	
4	0,50	0,54	0,61	0,68	
5	0,52	0,61	0,70	0,73	
6	0,49	0,64	0,71	0,73	
	$\Sigma$	3,03	3,51	3,96	4,26
	$\bar{d}_{tj}$	0,50	0,58	0,66	0,71

tab. 34

		ba			
		$\vartheta = 36 [{}^{\circ}\text{C}]$			
i	osnova	interval j			
		1	2	3	4
		čas t [s]			
	60	120	300	600	
1	0,44	0,52	0,56	0,63	
2	0,47	0,57	0,61	0,71	
3	0,47	0,54	0,57	0,64	
4	0,49	0,54	0,59	0,68	
5	0,45	0,49	0,54	0,57	
6	0,49	0,52	0,63	0,70	
	$\Sigma$	2,81	3,18	3,50	3,93
	$\bar{d}_{tj}$	0,47	0,53	0,58	0,65

tab. 35

ba		$\vartheta = 39 [{}^{\circ}\text{C}]$			
i	interval j	1	2	3	4
		čas t [s]			
		60	120	300	600
osnova	1	0,33	0,42	0,54	0,59
	2	0,44	0,52	0,54	0,56
	3	0,40	0,49	0,52	0,54
útok	4	0,44	0,49	0,50	0,56
	5	0,40	0,44	0,52	0,56
	6	0,42	0,47	0,56	0,59
$\Sigma$		2,43	2,83	3,18	3,40
$\bar{d}_{tj}$		0,40	0,47	0,53	0,57

tab. 36

ba		$\vartheta = 42 [{}^{\circ}\text{C}]$			
i	interval j	1	2	3	4
		čas t [s]			
		60	120	300	600
osnova	1	0,31	0,38	0,49	0,54
	2	0,31	0,44	0,50	0,59
	3	0,35	0,40	0,44	0,56
útok	4	0,38	0,42	0,49	0,61
	5	0,31	0,36	0,52	0,59
	6	0,30	0,33	0,50	0,52
$\Sigma$		1,96	2,33	2,94	3,41
$\bar{d}_{tj}$		0,33	0,39	0,49	0,56

tab. 37

$t_j$	27	30	33	36	39	42
60	0,62	0,55	0,50	0,47	0,40	0,33
120	0,67	0,59	0,58	0,53	0,47	0,39
300	0,75	0,66	0,66	0,58	0,53	0,49
600	0,82	0,73	0,71	0,65	0,57	0,56

tab. 38

VS/PES		$\vartheta = 27 [{}^{\circ}\text{C}]$			
i	interval j	1	2	3	4
		čas t [s]	60	120	300
1	1	1,72	1,77	1,83	1,90
	2	1,69	1,76	1,84	1,90
	3	1,66	1,74	1,83	1,91
	$\Sigma$	5,07	5,27	5,50	5,71
	$\bar{x}_{tj}$	1,69	1,76	1,83	1,90

tab. 39

VS/PES		$\vartheta = 30 [{}^{\circ}\text{C}]$			
i	interval j	1	2	3	4
		čas t [s]	60	120	300
1	1	1,51	1,62	1,72	1,79
	2	1,50	1,58	1,76	1,80
	3	1,50	1,62	1,74	1,83
	$\Sigma$	4,51	4,82	5,22	5,42
	$\bar{x}_{tj}$	1,50	1,61	1,74	1,81

tab.40

VS/PES		$\vartheta = 33 [{}^{\circ}\text{C}]$			
i		interval $j$			
		1	2	3	4
		čas t	[s]		
		60	120	300	600
1		1,41	1,48	1,60	1,74
2		1,44	1,51	1,67	1,77
3		1,39	1,53	1,69	1,76
	$\Sigma$	4,24	4,52	4,96	5,27
	$\bar{d}_{t,j}$	1,41	1,51	1,65	1,76

tab.41

VS/PES		$\vartheta = 36 [{}^{\circ}\text{C}]$			
i		interval $j$			
		1	2	3	4
		čas t	[s]		
		60	120	300	600
1		1,36	1,44	1,55	1,66
2		1,39	1,46	1,53	1,69
3		1,37	1,43	1,51	1,67
	$\Sigma$	4,12	4,33	4,59	5,02
	$\bar{d}_{t,j}$	1,37	1,44	1,53	1,67

tab.42

VS/PES		$\vartheta = 39 [{}^{\circ}\text{C}]$			
i		interval <sub>j</sub>			
		1	2	3	4
		čas	t	[s]	
		60	120	300	600
1		1,25	1,34	1,41	1,44
2		1,29	1,39	1,44	1,48
3		1,25	1,36	1,43	1,46
	$\Sigma$	3,79	4,09	4,28	4,38
	$\bar{d}_{t_j}$	1,26	1,36	1,43	1,46

tab.43

VS/PES		$\vartheta = 42 [{}^{\circ}\text{C}]$			
i		interval <sub>j</sub>			
		1	2	3	4
		čas	t	[s]	
		60	120	300	600
1		1,20	1,30	1,36	1,39
2		1,18	1,29	1,34	1,37
3		1,17	1,25	1,32	1,36
	$\Sigma$	3,55	3,84	4,02	4,12
	$\bar{d}_{t_j}$	1,18	1,28	1,34	1,37

tab.44

$t_j \backslash \vartheta$	27	30	33	36	39	42
60	1,69	1,50	1,41	1,37	1,26	1,18
120	1,76	1,61	1,51	1,44	1,36	1,28
300	1,83	1,74	1,65	1,53	1,43	1,34
600	1,90	1,81	1,76	1,67	1,46	1,37

tab.45

		vl/PES				$\vartheta = 27 [{}^{\circ}\text{C}]$
i	interval <sub>j</sub>	1	2	3	4	
		čas t [s]				
		60	120	300	600	
1	2,09	2,14	2,21	2,37		
2	2,04	2,18	2,23	2,31		
3	2,04	2,10	2,19	2,31		
$\Sigma$	6,17	6,42	6,63	6,99		
$\bar{d}_{t,j}$	2,06	2,14	2,21	2,33		

tab.46

		vl/PES				$\vartheta = 30 [{}^{\circ}\text{C}]$
i	interval <sub>j</sub>	1	2	3	4	
		čas t [s]				
		60	120	300	600	
1	1,93	1,99	2,09	2,16		
2	1,90	1,95	2,05	2,12		
3	1,91	1,97	2,07	2,14		
$\Sigma$	5,74	5,91	6,21	6,42		
$\bar{d}_{t,j}$	1,91	1,97	2,07	2,14		

tab.47

		vl/PES				$\vartheta = 33$ [°C]
i		interval $j$				
		1	2	3	4	
		čas	t	[s]		
		60	120	300	600	
1		1,77	1,84	1,99	2,05	
2		1,79	1,84	1,93	1,99	
3		1,76	1,80	1,95	2,00	
	$\Sigma$	5,32	5,48	5,87	6,04	
	$\bar{\alpha}_{tj}$	1,77	1,83	1,96	2,01	

tab.48

		vl/PES				$\vartheta = 36$ [°C]
i		interval $j$				
		1	2	3	4	
		čas	t	[s]		
		60	120	300	600	
1		1,66	1,77	1,88	1,91	
2		1,57	1,74	1,83	1,86	
3		1,62	1,76	1,84	1,90	
	$\Sigma$	4,85	5,27	5,55	5,67	
	$\bar{\alpha}_{tj}$	1,62	1,76	1,85	1,89	

tab.49

vl/PES		$\mathcal{T} = 39 [{}^{\circ}\text{C}]$			
i		interval <sub>j</sub>			
		1	2	3	4
		čas	t [s]		
		60	120	300	600
1	1,48	1,60	1,70	1,83	
2	1,48	1,62	1,72	1,84	
3	1,53	1,64	1,76	1,86	
$\Sigma$	4,49	4,86	5,18	5,53	
$\bar{d}_{t_j}$	1,50	1,62	1,73	1,84	

tab.50

vl/PES		$\mathcal{T} = 42 [{}^{\circ}\text{C}]$			
i		interval <sub>j</sub>			
		1	2	3	4
		čas	t [s]		
		60	120	300	600
1	1,48	1,57	1,72	1,83	
2	1,50	1,60	1,74	1,86	
3	1,48	1,58	1,72	1,84	
$\Sigma$	4,46	4,75	5,18	5,53	
$\bar{d}_{t_j}$	1,49	1,58	1,73	1,84	

tab.51

$t_j \backslash \mathcal{T}$	27	30	33	36	39	42
60	2,06	1,91	1,77	1,62	1,50	1,49
120	2,14	1,97	1,83	1,76	1,62	1,58
300	2,21	2,07	1,96	1,85	1,73	1,73
600	2,33	2,14	2,01	1,89	1,84	1,84

tab. 52

ba/PES		$\vartheta = 27 [{}^{\circ}\text{C}]$			
i		interval <sub>j</sub>			
		1	2	3	4
		čas	t	[s]	
		60	120	300	600
1	1,11	1,20	1,26	1,48	
2	1,13	1,20	1,39	1,48	
3	1,11	1,22	1,41	1,48	
$\Sigma$	3,35	3,62	4,16	4,44	
$\bar{t}_i$	1,12	1,21	1,39	1,48	

tab. 53

ba/PES		$\vartheta = 30 [{}^{\circ}\text{C}]$			
i		interval <sub>j</sub>			
		1	2	3	4
		čas	t	[s]	
		60	120	300	600
1	1,03	1,11	1,25	1,34	
2	1,04	1,10	1,25	1,30	
3	1,04	1,11	1,29	1,34	
$\Sigma$	3,11	3,32	3,79	3,98	
$\bar{t}_i$	1,04	1,11	1,26	1,33	

tab. 54

		ba/PES $\vartheta = 33 [{}^{\circ}\text{C}]$			
i	interval <sub>j</sub>	1	2	3	4
		čas t [s]			
		60	120	300	600
1	1,03	1,08	1,17	1,24	
2	1,04	1,11	1,22	1,29	
3	1,04	1,10	1,24	1,27	
$\Sigma$	3,11	3,29	3,63	3,80	
$\bar{x}_{tj}$	1,04	1,10	1,21	1,27	

tab. 55

		ba/PES $\vartheta = 36 [{}^{\circ}\text{C}]$			
i	interval <sub>j</sub>	1	2	3	4
		čas t [s]			
		60	120	300	600
1	1,01	1,08	1,15	1,18	
2	0,97	1,04	1,06	1,10	
3	0,99	1,06	1,11	1,15	
$\Sigma$	2,97	3,18	3,32	3,43	
$\bar{x}_{tj}$	0,99	1,06	1,11	1,14	

tab.56

ba/PES		$\vartheta = 39 [{}^{\circ}\text{C}]$			
i		interval $j$			
		1	2	3	4
		čas	t	[s]	
		60	120	300	600
1		0,96	0,99	1,01	1,03
2		0,97	0,99	1,04	1,08
3		0,97	0,99	1,06	1,10
	$\Sigma$	2,90	2,97	3,11	3,21
	$\bar{x}_j$	0,97	0,99	1,04	1,07

tab.57

ba/PES		$\vartheta = 42 [{}^{\circ}\text{C}]$			
i		interval $j$			
		1	2	3	4
		čas	t	[s]	
		60	120	300	600
1		0,94	0,97	1,03	1,06
2		0,94	0,97	1,04	1,08
3		0,92	0,99	1,03	1,06
	$\Sigma$	2,80	2,93	3,10	3,20
	$\bar{x}_j$	0,93	0,98	1,03	1,07

tab.58

$t_j \vartheta$	27	30	33	36	39	42
60	1,12	1,04	1,04	0,99	0,97	0,93
120	1,21	1,11	1,10	1,06	0,99	0,98
300	1,39	1,26	1,21	1,11	1,04	1,03
600	1,48	1,33	1,27	1,14	1,07	1,07

tab.59

ba		$\vartheta = 27 [{}^{\circ}\text{C}]$			
i		interval $j$			
		1	2	3	4
		čas t	[s]		
		60	120	300	600
1		0,53	0,54	0,59	0,63
2		0,52	0,54	0,57	0,61
3		0,52	0,54	0,59	0,61
	$\Sigma$	1,57	1,62	1,75	1,85
	$\bar{t}_j$	0,52	0,54	0,58	0,62

tab.60

ba		$\vartheta = 30 [{}^{\circ}\text{C}]$			
i		interval $j$			
		1	2	3	4
		čas t	[s]		
		60	120	300	600
1		0,52	0,54	0,57	0,59
2		0,45	0,47	0,50	0,54
3		0,45	0,50	0,54	0,57
	$\Sigma$	1,42	1,51	1,61	1,70
	$\bar{t}_j$	0,47	0,50	0,54	0,57

tab.61

ba		$\vartheta = 33 [{}^{\circ}\text{C}]$			
i		interval <sub>j</sub>			
		1	2	3	4
		čas	t	[s]	
		60	120	300	600
1		0,49	0,52	0,56	0,57
2		0,45	0,49	0,52	0,54
3		0,44	0,47	0,50	0,54
	$\Sigma$	1,38	1,48	1,58	1,65
	$\bar{x}_{tj}$	0,46	0,49	0,53	0,55

tab.62

ba		$\vartheta = 36 [{}^{\circ}\text{C}]$			
i		interval <sub>j</sub>			
		1	2	3	4
		čas	t	[s]	
		60	120	300	600
1		0,40	0,44	0,47	0,49
2		0,44	0,47	0,50	0,52
3		0,44	0,47	0,49	0,52
	$\Sigma$	1,28	1,38	1,46	1,53
	$\bar{x}_{tj}$	0,43	0,46	0,49	0,51

tab. 63

ba		$\vartheta = 39 [{}^{\circ}\text{C}]$			
i		interval $j$			
		1	2	3	4
		čas t [s]			
		60	120	300	600
1		0,40	0,47	0,49	0,50
2		0,40	0,44	0,45	0,49
3		0,38	0,44	0,45	0,49
$\Sigma$		1,18	1,35	1,39	1,48
$\bar{\alpha}_j$		0,39	0,45	0,46	0,49

tab. 64

ba		$\vartheta = 42 [{}^{\circ}\text{C}]$			
i		interval $j$			
		1	2	3	4
		čas t [s]			
		60	120	300	600
1		0,39	0,44	0,45	0,49
2		0,38	0,44	0,45	0,49
3		0,38	0,42	0,44	0,47
$\Sigma$		1,15	1,30	1,34	1,45
$\bar{\alpha}_j$		0,38	0,43	0,45	0,48

tab. 65

$t_j \vartheta$	27	30	33	36	39	42
60	0,52	0,47	0,46	0,43	0,39	0,38
120	0,54	0,50	0,49	0,46	0,45	0,43
300	0,58	0,54	0,53	0,49	0,46	0,45
600	0,62	0,57	0,55	0,51	0,49	0,48

tab.66

teplota medzi doštič. [°C]	teplota v prehybe materiálu [°C]			
	VS/PES	vl/PES	ba/PES	ba
27	26,00	26,00	26,00	26,00
30	28,75	29,00	29,00	29,00
33	32,00	32,00	32,00	32,00
36	34,25	34,50	34,00	34,25
39	37,25	37,25	37,25	37,00
42	39,50	40,00	39,50	39,75

$\varphi = 85 \pm 5 [\%]$				
	VS/PES	vl/PES	ba/PES	ba
27	26,50	26,00	26,50	26,50
30	29,25	29,75	29,50	29,50
33	32,00	31,75	32,00	32,00
36	35,50	35,25	35,00	35,25
39	38,00	37,75	37,75	37,75
42	40,25	40,00	40,25	40,00

tab.67

doštička	$\varphi = 65 \pm 5 [\%]$			
	VS/PES	vl/PES	ba/PES	ba
89	85	85	85	86
89	85	85	86	86
89	85	85	86	87
89	86	86	87	87
89	87	86	87	88
89	87	86	88	88

$\varphi = 85 \pm 5 [\%]$				
	VS/PES	vl/PES	ba/PES	ba
89	84	84	84	85
89	84	84	84	85
89	85	85	85	86
89	85	85	86	86
89	86	86	87	87
89	87	86	88	87

ELEKTRODA Cu-Sn6

POLYSTYRÉN								9
TRUBKA $\phi 6 \times 30$	ČSN 428710	423005.1						8
TRUBKA $\phi 4 \times 40$	ČSN 428710	423005.1						7
TRUBKA $\phi 4 \times 230$	ČSN 428710	423005.1						6
TRUBKA $\phi 10 \times 22$	ČSN 428710	423005.1						5
PLECH h2	ČSN 428302	423200.0						4
PLECH h1,5	ČSN 428305	423018						3
PLECH h1,5	ČSN 428302	423200.0						2
PLECH h1,5	ČSN 428302	423200.0						1

počet	poletovor	metr konečný	metr výchozí	metr	metr	metr	metr	pes.

celkové číslo váhu v kg								
n a								x
z e								x
v m i f								x
v r p r	schválil		c. snímku					x
								x
								x
								x
								x

typ	kód, lha	celkový výkres		počet listů	list
		1	2		
14288V					

SIMULÁTOR	počet listů		list
	1	2	